

# Algoritmos em Grafos

Rômulo César Silva

Unioeste

Agosto de 2021

# Sumário

- 1 Buscas
- 2 Ordenação Topológica
- 3 Componentes Conexas
- 4 Componentes Fortemente Conexas
- 5 Menor Caminho
- 6 Fecho Transitivo em Grafos Orientados
- 7 Árvore Geradora Mínima
- 8 Fluxo em Redes
- 9 Emparelhamento Máximo em Grafos Bipartidos
- 10 Bibliografia

# Busca em Profundidade (Depth-First-Search) - DFS

Estruturas de dados:

- $cor[u]$ : usado para indicar em que etapa se encontra a exploração do vértice  $u$ :
  - branco: não explorado
  - cinza: explorado, mas ainda sem explorar os adjacentes
  - preto: explorado e vértices adjacentes também explorados
- $\pi[v] = u$  indica que  $u$  precede  $v$  no grafo de busca
- $d[u]$ : *timestamp* de descoberta de  $u$
- $f[u]$ : *timestamp* de término da exploração de  $u$  e vértices adjacentes a  $u$
- $Adj[u]$ : vértices adjacentes a  $u$

# Busca em Profundidade (Depth-First-Search) - DFS

```
1: procedure DFS( $G$ )
2:   for each  $u \in V[G]$  do
3:      $cor[u] \leftarrow branco$ 
4:      $\pi[u] \leftarrow NIL$ 
5:   end for
6:    $timestamp \leftarrow 0$ 
7:   for each  $u \in V[G]$  do
8:     if  $cor[u] = branco$  then
9:       DFS_visit( $u$ )
10:    end if
11:  end for
12: end procedure
```

▷ variável global

# Busca em Profundidade (Depth-First-Search) - DFS

```
1: procedure DFS_VISIT( $u$ )
2:    $cor[u] \leftarrow cinza$ 
3:    $timestamp \leftarrow timestamp + 1$ 
4:    $d[u] \leftarrow timestamp$ 
5:   for each  $v \in Adj[u]$  do
6:     if  $cor[v] = branco$  then
7:        $\pi[v] \leftarrow u$ 
8:       DFS_visit( $v$ )
9:     end if
10:  end for
11:   $cor[u] \leftarrow preto$ 
12:   $timestamp \leftarrow timestamp + 1$ 
13:   $f[u] \leftarrow timestamp$ 
14: end procedure
```

▷ explora o vértice adjacente

▷ terminou adjacências de  $u$

# Busca em Profundidade (Depth-First-Search) - DFS

Complexidade:

- procedimento DFS:
  - linhas 02 a 05:  $\Theta(V)$
  - linhas 07 a 11, excluindo a chamada de DFS\_visit:  $\Theta(V)$
- procedimento DFS\_visit:
  - executado exatamente uma vez para cada vértice
  - linhas 05 a 10:  $\Theta(E)$ , pois corresponde às adjacências de cada vértice (número de arestas)
- procedimento DFS incluindo chamada DFS\_visit:  $\Theta(V + E)$

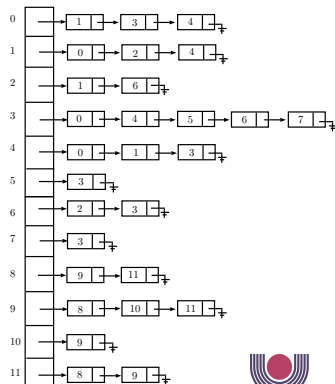
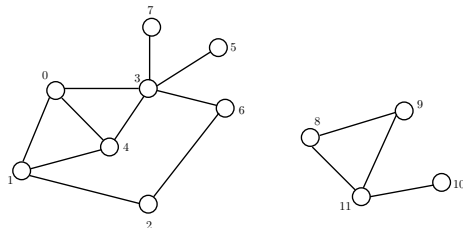
# Busca em Profundidade (Depth-First-Search) - DFS

Observações:

- caso o grafo seja conexo, as arestas escolhidas fazem parte da árvore de busca em profundidade
- caso o grafo seja desconexo, as arestas escolhidas fazem parte da floresta de busca em profundidade: nesse caso DFS\_visit é chamada mais de uma vez

# Busca em Profundidade (Depth-First-Search) - DFS

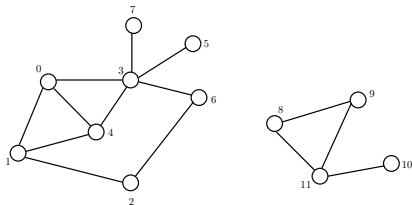
Considere o grafo abaixo tal que seja usada a representação de listas de adjacência em que os vértices estão inseridos nas listas em ordem crescente, conforme a figura abaixo.





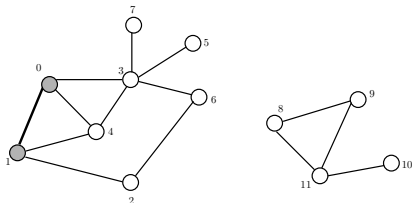
# Busca em Profundidade (Depth-First-Search) - DFS

Após a execução das linhas 02-06 de DFS, teremos os seguintes valores nas variáveis:



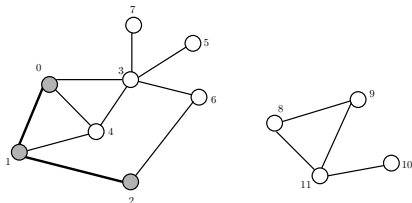
$u$	$cor[u]$	$\pi[u]$	$d[u]$	$f[u]$
0	B	NIL		
1	B	NIL		
2	B	NIL		
3	B	NIL		
4	B	NIL		
5	B	NIL		
6	B	NIL		
7	B	NIL		
8	B	NIL		
9	B	NIL		
10	B	NIL		
11	B	NIL		

# Busca em Profundidade (Depth-First-Search) - DFS



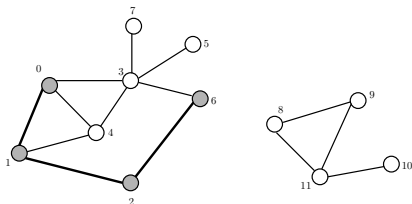
$u$	$cor[u]$	$\pi[u]$	$d[u]$	$f[u]$
0	C	NIL	1	
1	C	0	2	
2	B	NIL		
3	B	NIL		
4	B	NIL		
5	B	NIL		
6	B	NIL		
7	B	NIL		
8	B	NIL		
9	B	NIL		
10	B	NIL		
11	B	NIL		

# Busca em Profundidade (Depth-First-Search) - DFS



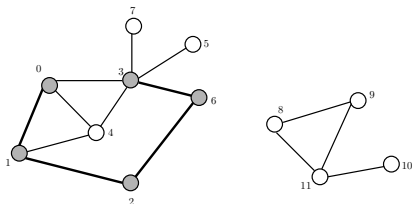
$u$	$cor[u]$	$\pi[u]$	$d[u]$	$f[u]$
0	C	NIL	1	
1	C	0	2	
2	C	1	3	
3	B	NIL		
4	B	NIL		
5	B	NIL		
6	B	NIL		
7	B	NIL		
8	B	NIL		
9	B	NIL		
10	B	NIL		
11	B	NIL		

# Busca em Profundidade (Depth-First-Search) - DFS



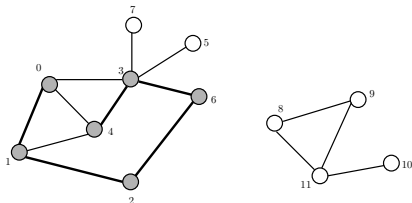
$u$	$cor[u]$	$\pi[u]$	$d[u]$	$f[u]$
0	C	NIL	1	
1	C	0	2	
2	C	1	3	
3	B	NIL		
4	B	NIL		
5	B	NIL		
6	C	2	4	
7	B	NIL		
8	B	NIL		
9	B	NIL		
10	B	NIL		
11	B	NIL		

# Busca em Profundidade (Depth-First-Search) - DFS



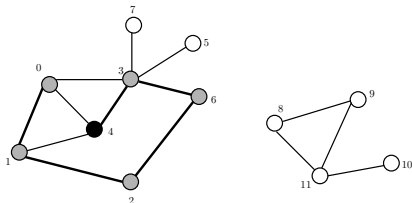
$u$	$cor[u]$	$\pi[u]$	$d[u]$	$f[u]$
0	C	NIL	1	
1	C	0	2	
2	C	1	3	
3	C	6	5	
4	B	NIL		
5	B	NIL		
6	C	2	4	
7	B	NIL		
8	B	NIL		
9	B	NIL		
10	B	NIL		
11	B	NIL		

# Busca em Profundidade (Depth-First-Search) - DFS



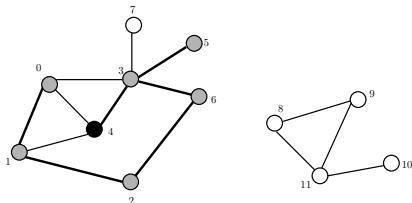
$u$	$cor[u]$	$\pi[u]$	$d[u]$	$f[u]$
0	C	NIL	1	
1	C	0	2	
2	C	1	3	
3	C	6	5	
4	C	3	6	
5	B	NIL		
6	C	2	4	
7	B	NIL		
8	B	NIL		
9	B	NIL		
10	B	NIL		
11	B	NIL		

# Busca em Profundidade (Depth-First-Search) - DFS



$u$	$cor[u]$	$\pi[u]$	$d[u]$	$f[u]$
0	C	NIL	1	
1	C	0	2	
2	C	1	3	
3	C	6	5	
4	P	3	6	7
5	B	NIL		
6	C	2	4	
7	B	NIL		
8	B	NIL		
9	B	NIL		
10	B	NIL		
11	B	NIL		

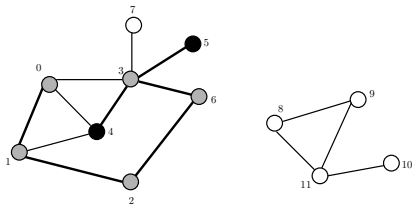
# Busca em Profundidade (Depth-First-Search) - DFS



$u$	$cor[u]$	$\pi[u]$	$d[u]$	$f[u]$
0	C	NIL	1	
1	C	0	2	
2	C	1	3	
3	C	6	5	
4	P	3	6	7
5	C	3	8	
6	C	2	4	
7	B	NIL		
8	B	NIL		
9	B	NIL		
10	B	NIL		
11	B	NIL		

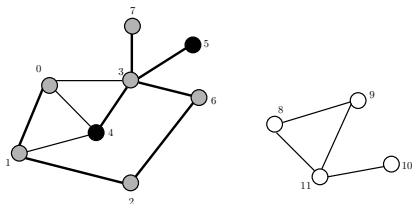


# Busca em Profundidade (Depth-First-Search) - DFS



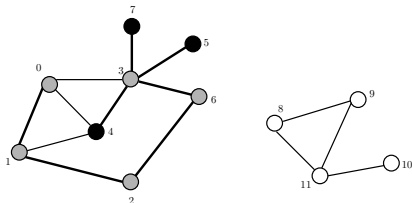
$u$	$cor[u]$	$\pi[u]$	$d[u]$	$f[u]$
0	C	NIL	1	
1	C	0	2	
2	C	1	3	
3	C	6	5	
4	P	3	6	7
5	P	3	8	9
6	C	2	4	
7	B	NIL		
8	B	NIL		
9	B	NIL		
10	B	NIL		
11	B	NIL		

# Busca em Profundidade (Depth-First-Search) - DFS



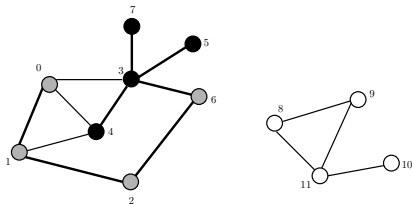
$u$	$cor[u]$	$\pi[u]$	$d[u]$	$f[u]$
0	C	NIL	1	
1	C	0	2	
2	C	1	3	
3	C	6	5	
4	P	3	6	7
5	P	3	8	9
6	C	2	4	
7	C	3	10	
8	B	NIL		
9	B	NIL		
10	B	NIL		
11	B	NIL		

# Busca em Profundidade (Depth-First-Search) - DFS



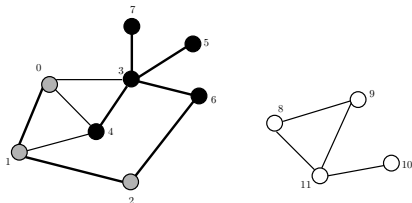
$u$	$cor[u]$	$\pi[u]$	$d[u]$	$f[u]$
0	C	NIL	1	
1	C	0	2	
2	C	1	3	
3	C	6	5	
4	P	3	6	7
5	P	3	8	9
6	C	2	4	
7	P	3	10	11
8	B	NIL		
9	B	NIL		
10	B	NIL		
11	B	NIL		

# Busca em Profundidade (Depth-First-Search) - DFS



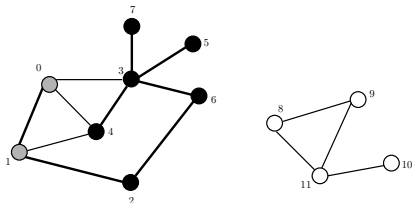
$u$	$cor[u]$	$\pi[u]$	$d[u]$	$f[u]$
0	C	NIL	1	
1	C	0	2	
2	C	1	3	
3	P	6	5	12
4	P	3	6	7
5	P	3	8	9
6	C	2	4	
7	P	3	10	11
8	B	NIL		
9	B	NIL		
10	B	NIL		
11	B	NIL		

# Busca em Profundidade (Depth-First-Search) - DFS



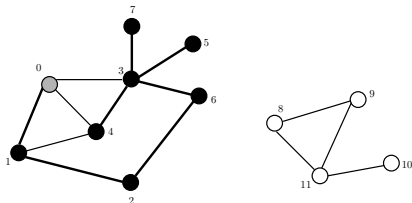
$u$	$cor[u]$	$\pi[u]$	$d[u]$	$f[u]$
0	C	NIL	1	
1	C	0	2	
2	C	1	3	
3	P	6	5	12
4	P	3	6	7
5	P	3	8	9
6	P	2	4	13
7	P	3	10	11
8	B	NIL		
9	B	NIL		
10	B	NIL		
11	B	NIL		

# Busca em Profundidade (Depth-First-Search) - DFS



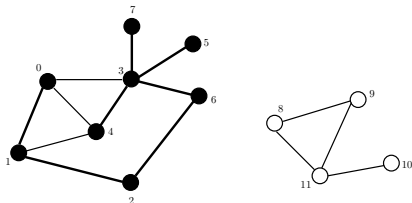
$u$	$cor[u]$	$\pi[u]$	$d[u]$	$f[u]$
0	C	NIL	1	
1	C	0	2	
2	P	1	3	14
3	P	6	5	12
4	P	3	6	7
5	P	3	8	9
6	P	2	4	13
7	P	3	10	11
8	B	NIL		
9	B	NIL		
10	B	NIL		
11	B	NIL		

# Busca em Profundidade (Depth-First-Search) - DFS



$u$	$cor[u]$	$\pi[u]$	$d[u]$	$f[u]$
0	C	NIL	1	
1	P	0	2	15
2	P	1	3	14
3	P	6	5	12
4	P	3	6	7
5	P	3	8	9
6	P	2	4	13
7	P	3	10	11
8	B	NIL		
9	B	NIL		
10	B	NIL		
11	B	NIL		

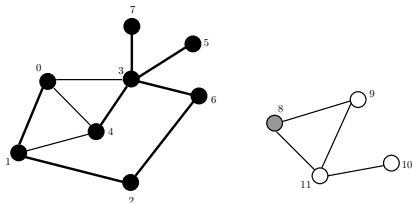
# Busca em Profundidade (Depth-First-Search) - DFS



$u$	$cor[u]$	$\pi[u]$	$d[u]$	$f[u]$
0	P	NIL	1	16
1	P	0	2	15
2	P	1	3	14
3	P	6	5	12
4	P	3	6	7
5	P	3	8	9
6	P	2	4	13
7	P	3	10	11
8	B	NIL		
9	B	NIL		
10	B	NIL		
11	B	NIL		

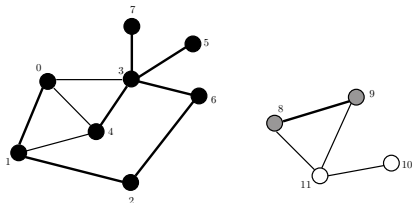


# Busca em Profundidade (Depth-First-Search) - DFS



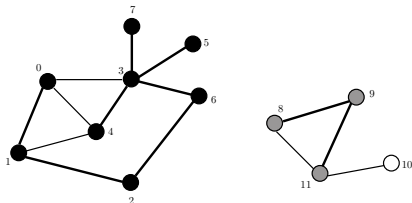
$u$	$cor[u]$	$\pi[u]$	$d[u]$	$f[u]$
0	P	NIL	1	16
1	P	0	2	15
2	P	1	3	14
3	P	6	5	12
4	P	3	6	7
5	P	3	8	9
6	P	2	4	13
7	P	3	10	11
8	C	NIL	17	
9	B	NIL		
10	B	NIL		
11	B	NIL		

# Busca em Profundidade (Depth-First-Search) - DFS



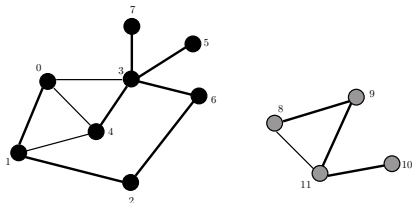
$u$	$cor[u]$	$\pi[u]$	$d[u]$	$f[u]$
0	P	NIL	1	16
1	P	0	2	15
2	P	1	3	14
3	P	6	5	12
4	P	3	6	7
5	P	3	8	9
6	P	2	4	13
7	P	3	10	11
8	C	NIL	17	
9	C	8	18	
10	B	NIL		
11	B	NIL		

# Busca em Profundidade (Depth-First-Search) - DFS



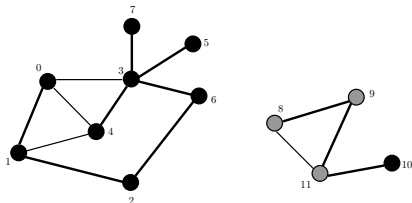
$u$	$cor[u]$	$\pi[u]$	$d[u]$	$f[u]$
0	P	NIL	1	16
1	P	0	2	15
2	P	1	3	14
3	P	6	5	12
4	P	3	6	7
5	P	3	8	9
6	P	2	4	13
7	P	3	10	11
8	C	NIL	17	
9	C	8	18	
10	B	NIL		
11	C	9	19	

# Busca em Profundidade (Depth-First-Search) - DFS



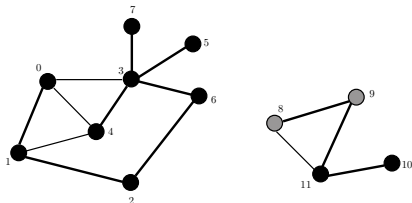
$u$	$cor[u]$	$\pi[u]$	$d[u]$	$f[u]$
0	P	NIL	1	16
1	P	0	2	15
2	P	1	3	14
3	P	6	5	12
4	P	3	6	7
5	P	3	8	9
6	P	2	4	13
7	P	3	10	11
8	C	NIL	17	
9	C	8	18	
10	C	11	20	
11	C	9	19	

# Busca em Profundidade (Depth-First-Search) - DFS



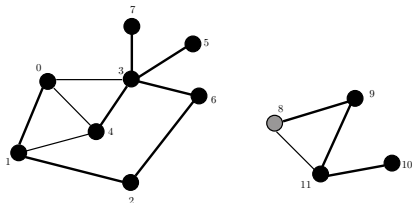
$u$	$cor[u]$	$\pi[u]$	$d[u]$	$f[u]$
0	P	NIL	1	16
1	P	0	2	15
2	P	1	3	14
3	P	6	5	12
4	P	3	6	7
5	P	3	8	9
6	P	2	4	13
7	P	3	10	11
8	C	NIL	17	
9	C	8	18	
10	P	11	20	21
11	C	9	19	

# Busca em Profundidade (Depth-First-Search) - DFS



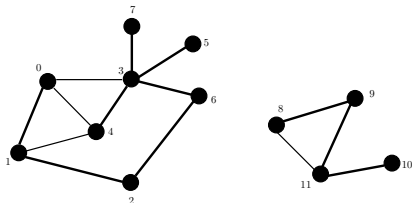
$u$	$cor[u]$	$\pi[u]$	$d[u]$	$f[u]$
0	P	NIL	1	16
1	P	0	2	15
2	P	1	3	14
3	P	6	5	12
4	P	3	6	7
5	P	3	8	9
6	P	2	4	13
7	P	3	10	11
8	C	NIL	17	
9	C	8	18	
10	P	11	20	21
11	P	9	19	22

# Busca em Profundidade (Depth-First-Search) - DFS



$u$	$cor[u]$	$\pi[u]$	$d[u]$	$f[u]$
0	P	NIL	1	16
1	P	0	2	15
2	P	1	3	14
3	P	6	5	12
4	P	3	6	7
5	P	3	8	9
6	P	2	4	13
7	P	3	10	11
8	C	NIL	17	
9	P	8	18	23
10	P	11	20	21
11	P	9	19	22

# Busca em Profundidade (Depth-First-Search) - DFS



$u$	$cor[u]$	$\pi[u]$	$d[u]$	$f[u]$
0	P	NIL	1	16
1	P	0	2	15
2	P	1	3	14
3	P	6	5	12
4	P	3	6	7
5	P	3	8	9
6	P	2	4	13
7	P	3	10	11
8	P	NIL	17	24
9	P	8	18	23
10	P	11	20	21
11	P	9	19	22



# Busca em Profundidade (Depth-First-Search) - DFS

Propriedades:

Para quaisquer 2 vértices  $u$  e  $v$ , alguma das seguinte situações ocorre:

- os intervalos  $[d[u], f[u]]$  e  $[d[v], f[v]]$  são inteiramente disjuntos
- o intervalo  $[d[u], f[u]]$  está inteiramente dentro do intervalo  $[d[v], f[v]]$ . Nesse caso,  $u$  é descendente de  $v$  na árvore de busca em profundidade
- o intervalo  $[d[v], f[v]]$  está inteiramente dentro do intervalo  $[d[u], f[u]]$ . Nesse caso,  $v$  é descendente de  $u$  na árvore de busca em profundidade

# Busca em Profundidade (Depth-First-Search) - DFS

A Busca em Profundidade pode ser usada para classificar as arestas em:

- **tree edge** (aresta da árvore): aresta escolhida durante o processo de busca.  $(u, v)$  é aresta da árvore de busca se  $v$  foi descoberto pela exploração da aresta  $(u, v)$
- **back edge** (aresta de retorno): são aquelas arestas  $(u, v)$  tal que  $v$  é ancestral de  $u$  na árvore de busca
- **forward edge**: são aquelas arestas  $(u, v)$  tal que  $v$  é descendente de  $u$  na árvore de busca
- **cross edge**: todas as outras arestas

# Busca em Profundidade (Depth-First-Search) - DFS

$(u, v)$  pode ser classificada de acordo com a cor do vértice  $v$ , atingido quando a aresta é explorada pela primeira vez:

- branco: aresta da árvore
- cinza: aresta de retorno
- preto: *forward* ou *cross*

# Busca em Profundidade (Depth-First-Search) - DFS

## Observações:

- em grafo não-orientado, cada aresta é aresta da árvore ou aresta de retorno.
- $(u, v)$ :
  - é aresta da árvore ou *forward* se e somente  $d[u] < d[v] < f[v] < f[u]$
  - é aresta de retorno se e somente se  $d[v] < d[u] < f[u] < f[v]$
  - é *cross* se e somente se  $d[v] < f[v] < d[u] < f[u]$

# Busca em Largura (Breadth-First-Search) - BFS

Estruturas de dados:

- $cor[u]$ : usado para indicar em que etapa se encontra a exploração do vértice  $u$ :
  - branco: não explorado
  - cinza: explorado, mas ainda sem explorar os adjacentes
  - preto: explorado e vértices adjacentes também explorados
- $\pi[v] = u$  indica que  $u$  precede  $v$  no grafo de busca
- $d[u]$ : distância do vértice inicial  $s$  até o vértice  $u$
- $Q$ : fila que gerencia os nós de cor cinza
- $Adj[u]$ : vértices adjacentes a  $u$

# Busca em Largura (Breadth-First-Search) - BFS

```

1: procedure BFS_VISIT( $G, s$ )
2:    $\triangleright s$  é vertice inicial da busca
3:   for each  $u \in V[G] - \{s\}$  do
4:      $cor[u] \leftarrow \text{branco}$ 
5:      $d[u] \leftarrow \infty$ 
6:      $\pi[u] \leftarrow NIL$ 
7:   end for
8:    $cor[s] \leftarrow \text{cinza}$ 
9:    $\pi[s] \leftarrow NIL$ 
10:   $d[s] \leftarrow 0$ 
11:   $Q \leftarrow \{s\}$ 
12:  while  $Q \neq \emptyset$  do
13:     $u \leftarrow \text{head}[Q]$ 
14:    for each  $v \in Adj[u]$  do
15:      if  $cor[v] = \text{branco}$  then
16:         $cor[v] \leftarrow \text{cinza}$ 
17:         $d[v] \leftarrow d[u] + 1$ 
18:         $\pi[v] \leftarrow u$ 
19:         $\text{enqueue}(Q, v)$ 
20:      end if
21:    end for
22:     $\text{dequeue}(Q)$ 
23:     $cor[u] \leftarrow \text{preto}$ 
24:  end while
25: end procedure

```

$\triangleright$  Obtém a cabeça da fila

$\triangleright$  insere  $v$  na fila

$\triangleright$  remove a cabeça da fila

# Busca em Largura (Breadth-First-Search) - BFS

Complexidade:

- linhas 03 a 07:  $\Theta(V)$
- as operações de fila (*enqueue* e *dequeue*) tomam tempo  $O(1)$  cada. Como cada vértice é enfileirado/desenfileirado uma única vez, o total é  $O(V)$
- como a lista de adjacência de cada vértice é varrida uma única vez, o total é  $O(E)$
- tempo total de BFS:  $O(V + E)$

# Busca em Largura (Breadth-First-Search) - BFS

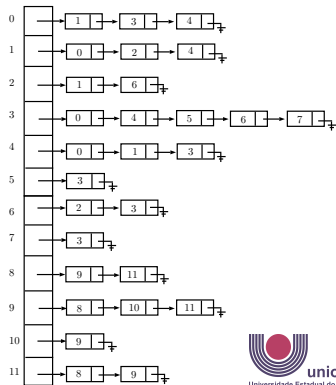
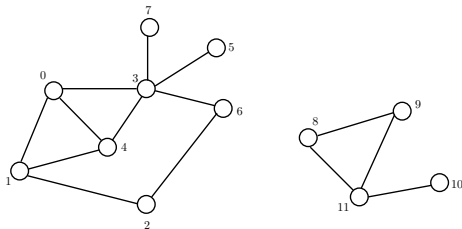
## Observações:

- o procedimento BFS constrói uma árvore de busca em largura
- as arestas  $u, v)$  escolhidas fazem parte do menor caminho entre o vértice inicial  $s$  e os demais vértices
- se o grafo for desconexo, os vértices  $v$  que não estão na mesma componente conexa do vértice inicial  $s$  terão  $d[v] = \infty$



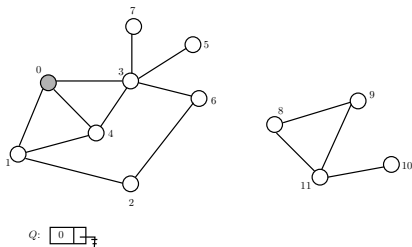
# Busca em Largura (Breadth-First-Search) - BFS

Considere o grafo abaixo tal que seja usada a representação de listas de adjacência em que os vértices estão inseridos nas listas em ordem crescente, conforme a figura abaixo, e que a busca se inicie pelo vértice 0 (zero).



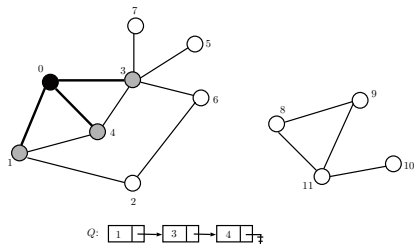
# Busca em Largura (Breadth-First-Search) - BFS

Após a execução de BFS até a linha 11:



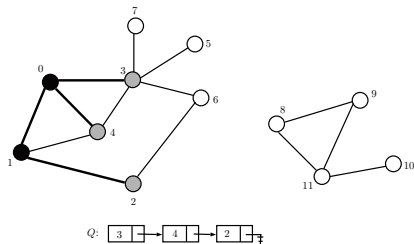
$u$	$cor[u]$	$\pi[u]$	$d[u]$
0	C	NIL	0
1	B	NIL	$\infty$
2	B	NIL	$\infty$
3	B	NIL	$\infty$
4	B	NIL	$\infty$
5	B	NIL	$\infty$
6	B	NIL	$\infty$
7	B	NIL	$\infty$
8	B	NIL	$\infty$
9	B	NIL	$\infty$
10	B	NIL	$\infty$
11	B	NIL	$\infty$

# Busca em Largura (Breadth-First-Search) - BFS



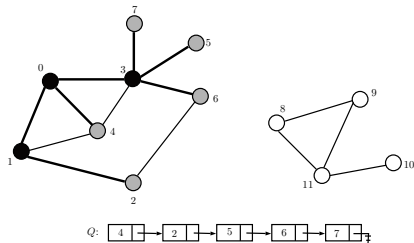
$u$	$cor[u]$	$\pi[u]$	$d[u]$
0	P	NIL	0
1	C	0	1
2	B	NIL	$\infty$
3	C	0	1
4	C	0	1
5	B	NIL	$\infty$
6	B	NIL	$\infty$
7	B	NIL	$\infty$
8	B	NIL	$\infty$
9	B	NIL	$\infty$
10	B	NIL	$\infty$
11	B	NIL	$\infty$

# Busca em Largura (Breadth-First-Search) - BFS



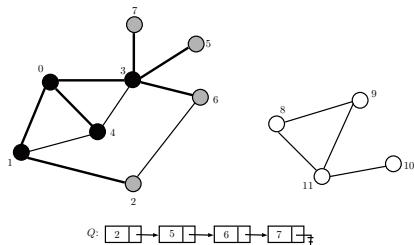
$u$	$cor[u]$	$\pi[u]$	$d[u]$
0	P	NIL	0
1	P	0	1
2	C	1	2
3	C	0	1
4	C	0	1
5	B	NIL	$\infty$
6	B	NIL	$\infty$
7	B	NIL	$\infty$
8	B	NIL	$\infty$
9	B	NIL	$\infty$
10	B	NIL	$\infty$
11	B	NIL	$\infty$

# Busca em Largura (Breadth-First-Search) - BFS



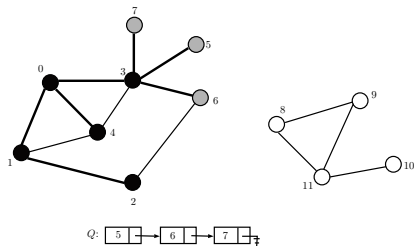
$u$	$cor[u]$	$\pi[u]$	$d[u]$
0	P	NIL	0
1	P	0	1
2	C	1	2
3	P	0	1
4	C	0	1
5	C	3	2
6	C	3	2
7	C	3	2
8	B	NIL	$\infty$
9	B	NIL	$\infty$
10	B	NIL	$\infty$
11	B	NIL	$\infty$

# Busca em Largura (Breadth-First-Search) - BFS



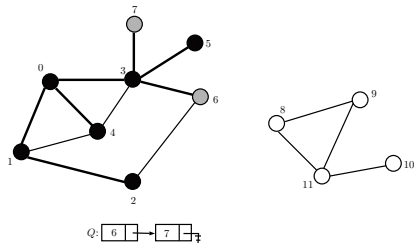
$u$	$cor[u]$	$\pi[u]$	$d[u]$
0	P	NIL	0
1	P	0	1
2	C	1	2
3	P	0	1
4	P	0	1
5	C	3	2
6	C	3	2
7	C	3	2
8	B	NIL	$\infty$
9	B	NIL	$\infty$
10	B	NIL	$\infty$
11	B	NIL	$\infty$

# Busca em Largura (Breadth-First-Search) - BFS



$u$	$cor[u]$	$\pi[u]$	$d[u]$
0	P	NIL	0
1	P	0	1
2	P	1	2
3	P	0	1
4	P	0	1
5	C	3	2
6	C	3	2
7	C	3	2
8	B	NIL	$\infty$
9	B	NIL	$\infty$
10	B	NIL	$\infty$
11	B	NIL	$\infty$

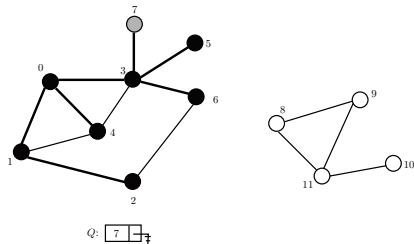
# Busca em Largura (Breadth-First-Search) - BFS



$u$	$cor[u]$	$\pi[u]$	$d[u]$
0	P	NIL	0
1	P	0	1
2	P	1	2
3	P	0	1
4	P	0	1
5	P	3	2
6	C	3	2
7	C	3	2
8	B	NIL	$\infty$
9	B	NIL	$\infty$
10	B	NIL	$\infty$
11	B	NIL	$\infty$

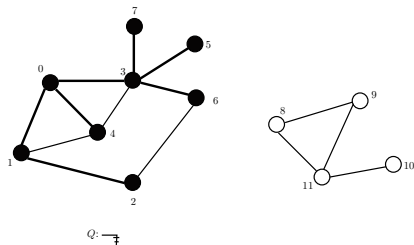


# Busca em Largura (Breadth-First-Search) - BFS



$u$	$cor[u]$	$\pi[u]$	$d[u]$
0	P	NIL	0
1	P	0	1
2	P	1	2
3	P	0	1
4	P	0	1
5	P	3	2
6	P	3	2
7	C	3	2
8	B	NIL	$\infty$
9	B	NIL	$\infty$
10	B	NIL	$\infty$
11	B	NIL	$\infty$

# Busca em Largura (Breadth-First-Search) - BFS



$u$	$cor[u]$	$\pi[u]$	$d[u]$
0	P	NIL	0
1	P	0	1
2	P	1	2
3	P	0	1
4	P	0	1
5	P	3	2
6	P	3	2
7	P	3	2
8	B	NIL	$\infty$
9	B	NIL	$\infty$
10	B	NIL	$\infty$
11	B	NIL	$\infty$

# Busca em Largura (Breadth-First-Search) - BFS

Assumindo que o procedimento BFS já tenha sido executado, o procedimento abaixo imprime os vértices que compõem o menor caminho entre o vértice inicial  $s$  e o vértice  $v$ :

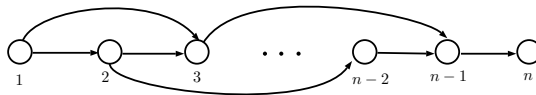
```
1: procedure IMPRIMECAMINHO( $G, s, v$ )
2:   if  $v = s$  then
3:     print( $s$ )
4:   else
5:     if  $\pi[v] = NIL$  then
6:       print não existe caminho de  $s$  para  $v$ 
7:     else
8:       ImprimeCaminho( $G, s, \pi[v]$ )
9:       print( $v$ )
10:    end if
11:  end if
12: end procedure
```

# Ordenação Topológica

## Ordenação Topológica

Dado um grafo orientado acíclico  $G = (V, E)$  com  $n$  vértices, uma **ordenação topológica** em  $G$  consiste em rotular os vértices de 1 até  $n$  tal que, se o vértice  $v$  possui número  $k$ , então todos os vértices que podem ser atingidos a partir de  $v$  por um caminho orientado possuem numeros maior que  $k$ .

Esquema:



# Ordenação Topológica

Observação:

- se  $G = (V, E)$  é grafo orientado acíclico, então existe pelo menos um vértice cujo grau de entrada é zero (**fonte**)
- se  $G = (V, E)$  é grafo orientado acíclico, então existe pelo menos um vértice cujo grau de saída é zero (**ralo**)

Ideia usando busca em profundidade: após calcular  $f[v]$ , inserir o vértice  $v$  na cabeça de uma lista.

# Ordenação Topológica

```

1: function ORDENACAO_TOPOLOGICA( $G$ )
2:   ▷ entrada: grafo  $G$ 
3:   ▷ saída: lista  $L$  com os nós na ordem topológica
4:    $L \leftarrow \emptyset$                                      ▷ lista de vértices
5:   DFS( $G$ )                                             ▷ para calcular  $f[v]$  e logo após inserir  $v$  na cabeça de  $L$ 
6:   return  $L$ 
7: end function

```

Complexidade:

- inserção na lista:  $O(1)$
- DFS modificada:  $O(V + E)$
- ordenação topológica (total):  $O(V + E)$

# Ordenação Topológica - 2º algoritmo

Estruturas de dados:

- $g_{in}$ : vetor com grau de entrada de todos os vértices
- $Q$ : fila
- $ordem$ : variável global para controlar a ordem de vértices
- $v.ordem$ : ordem do vértice  $v$  na ordenação topológica

# Ordenação Topológica - 2º algoritmo

```

1: procedure ORDTOPOLOGICA( $G$ )
2:    $\triangleright$  entrada: grafo  $G$ 
3:    $ordem \leftarrow 1$ 
4:    $Q \leftarrow \emptyset$ 
5:   calcular  $g_{in} \forall v \in V[G]$ 
6:   for  $i \leftarrow 1, \dots, n$  do
7:     if  $g_{in}[i] = 0$  then
8:       enqueue( $Q, v_i$ )
9:     end if
10:  end for
11:  while  $Q \neq \emptyset$  do
12:     $v \leftarrow dequeue(Q)$ 
13:     $v.order \leftarrow ordem$ 
14:     $ordem \leftarrow ordem + 1$ 
15:    for each  $(v, w) \in E$  do
16:       $g_{in}[w] \leftarrow g_{in}[w] - 1$ 
17:      if  $g_{in}[w] = 0$  then
18:        enqueue( $Q, w$ )
19:      end if
20:    end for
21:  end while
22: end procedure

```

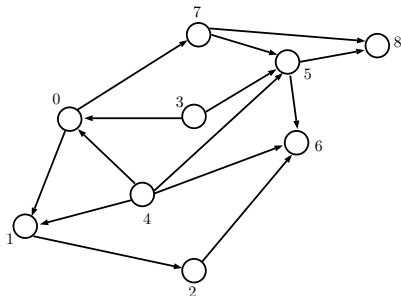
$\triangleright$  fila vazia

$\triangleright$  varre cada aresta partindo de  $v$



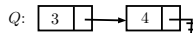
# Ordenação Topológica - 2º algoritmo

Considere o grafo abaixo, já exibindo os valores das variáveis após a execução das linhas 03-10:

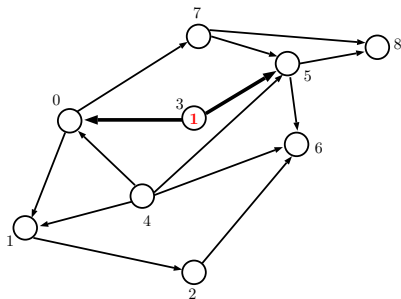


$g_{in} :$

2	2	1	0	0	3	3	1	2
0	1	2	3	4	5	6	7	8



# Ordenação Topológica - 2º algoritmo



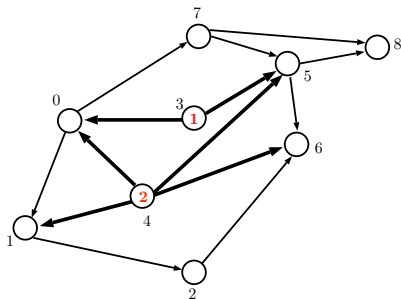
$g_{in} :$

1	2	1	0	0	2	3	1	2
0	1	2	3	4	5	6	7	8

$Q:$

4	
---	--

# Ordenação Topológica - 2º algoritmo



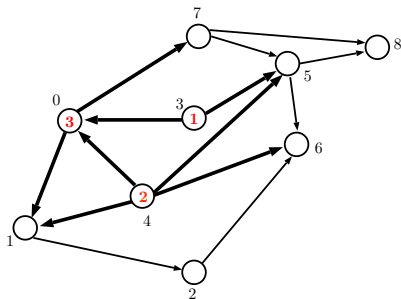
$g_{in} :$

0	1	1	0	0	1	2	1	2
0	1	2	3	4	5	6	7	8

$Q:$

0	
---	--

# Ordenação Topológica - 2º algoritmo



$g_{in} :$ 

0	0	1	0	0	1	2	0	2
0	1	2	3	4	5	6	7	8

$Q:$ 

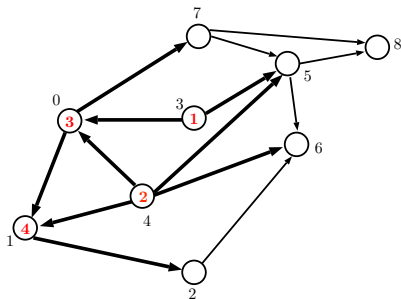
1	
---	--

 $\rightarrow$ 

7	
---	--

 $\rightarrow$   $\vdots$

# Ordenação Topológica - 2º algoritmo



$g_{in} :$

0	0	0	0	0	1	2	0	2
0	1	2	3	4	5	6	7	8

$Q:$

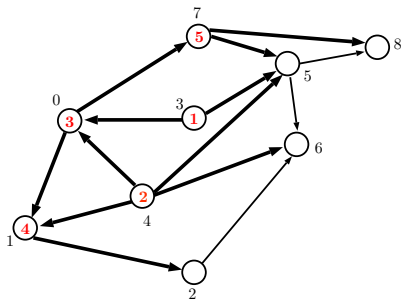
7	
---	--

→

2	
---	--

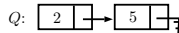
→

# Ordenação Topológica - 2º algoritmo

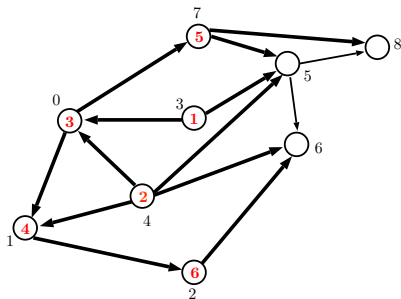


$g_{in} :$

0	0	0	0	0	0	2	0	1
0	1	2	3	4	5	6	7	8



# Ordenação Topológica - 2º algoritmo



$g_{in} :$

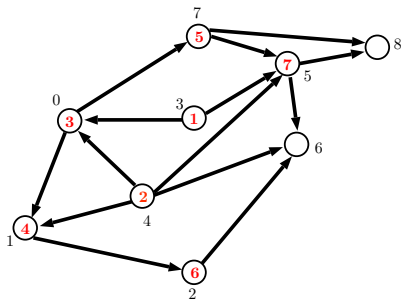
0	0	0	0	0	0	1	0	1
0	1	2	3	4	5	6	7	8

$Q:$ 

5	
---	--

 $\neq$

# Ordenação Topológica - 2º algoritmo



$g_{in} :$

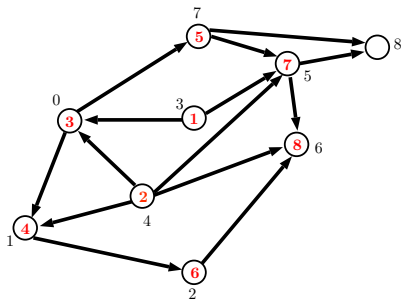
0	0	0	0	0	0	0	0	0	0
0	1	2	3	4	5	6	7	8	

$Q:$

6		→	8		→	7
---	--	---	---	--	---	---



# Ordenação Topológica - 2º algoritmo



$g_{in} :$ 

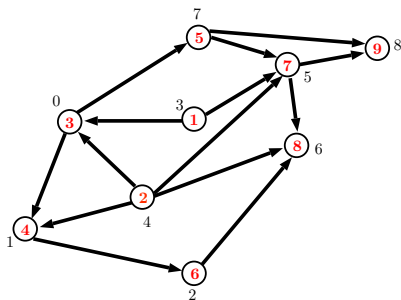
0	0	0	0	0	0	0	0	0	0
0	1	2	3	4	5	6	7	8	

$Q:$ 

8	
---	--

 $\neq$

# Ordenação Topológica - 2º algoritmo

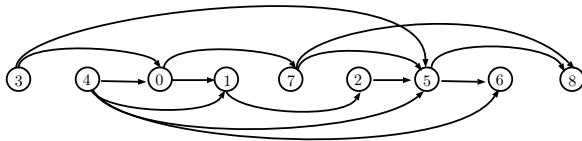
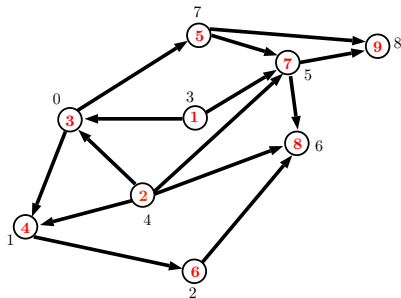


$g_{in} :$

0	0	0	0	0	0	0	0	0	0
0	1	2	3	4	5	6	7	8	

$Q:$

# Ordenação Topológica - 2º algoritmo



# Ordenação Topológica - 2º algoritmo

- como todo grafo orientado acíclico tem pelo menos um vértice cujo grau de entrada é zero, este vértice deve ser o primeiro na ordem topológica
- a fila controla a ordem de exploração dos vértices
- ao se explorar a aresta  $(u, v)$  decrementa-se o grau de entrada do vértice  $v$

Complexidade:  $O(V + E)$

# Componentes Conexas

- somente para grafos não-orientados
- usar DFS modificada: criar variável para contar quantas árvores são obtidas pela busca

# Componentes Conexas

```

1: procedure COMPONENTESCONEXAS( $G$ )
2:    $\triangleright$  entrada: grafo  $G$ 
3:    $nroComp \leftarrow 0$   $\triangleright$  variável global
4:   DFS_cc( $G$ )
5: end procedure

1: procedure DFS_cc( $G$ )
2:    $\triangleright$  DFS modificada
3:   for each  $u \in V[G]$  do
4:      $cor[u] \leftarrow branco$ 
5:   end for
6:   for each  $u \in G[G]$  do
7:     if  $cor[u] = branco$  then
8:       DFS_visit( $u$ )
9:        $nroComp \leftarrow nroComp + 1$   $\triangleright$  uma componente foi explorada
10:    end if
11:  end for
12: end procedure

```

# Componentes Fortemente Conexas

## Grafo Transposto

Seja  $G = (V, E)$  grafo orientado. O grafo transposto de  $G$ , denotado por  $G^T$ , é dado por  $G^T = (V, E^T)$ , em que  $E^T = \{(u, v) | (v, u) \in E\}$ .

- o grafo transposto  $G^T$  tem as mesmas componentes fortemente conexas do grafo  $G$
- fazer uma modificação na DFS para encontrar as componentes fortemente conexas

# Componentes Fortemente Conexas

- 1: **procedure** CFC( $G$ )
- 2:   usar DFS( $G$ ) para calcular  $f[u] \forall u \in V$
- 3:   calcular  $G^T$
- 4:   usar DFS( $G^T$ ), mas no *loop* principal considerar os vértices em ordem decrescente de  $f[u]$
- 5:   imprimir os vertices de cada árvore DFS da linha 04 como uma componente fortemente conexa separada
- 6: **end procedure**

Complexidade:

- DFS( $G$ ):  $\Theta(V + E)$
- DFS( $G^T$ ):  $\Theta(V + E)$
- tempo total:  $\Theta(V + E)$



# Problemas de Menor Caminho

Variantes:

- único destino: de todos os vértices para um único vértice
- entre vértice-origem e vértice-destino
- única origem para todos os vértices
- entre todos os pares de vértices

# Problemas de Menor Caminho

## Problema de Menor Caminho

Seja  $G = (V, E)$  grafo orientado com pesos (custos) associados às arestas através de função  $w : E \rightarrow \mathbb{R}$

O peso (custo) do caminho  $p = \langle v_0, v_1, \dots, v_k \rangle$  é dado por:

$$w(p) = \sum_{i=1}^k w(v_{i-1}, v_i)$$

O menor caminho entre  $u$  e  $v$  é dado por:

$$\delta(u, v) = \begin{cases} \min\{ w(p) : p \text{ é caminho de } u \text{ para } v \} \\ \infty & \text{se não existe caminho de } u \text{ para } v \end{cases}$$

# Problemas de Menor Caminho

Observações:

- se há arestas de peso negativo, então se elas participam de um ciclo, o peso do ciclo não pode ser negativo, pois  $\delta(u, v)$  seria  $-\infty$
- **Propriedade básica do menor caminho:**
  - se  $p = \langle v_1, v_2, \dots, v_k \rangle$  é o menor caminho de  $v_1$  para  $v_k$ , então  $\forall i, j$  com  $1 \leq i \leq j \leq k$ , o subcaminho  $p_{ij} = \langle v_i, v_{i+1}, \dots, v_j \rangle$  é o menor caminho de  $v_i$  para  $v_j$
  - resumindo: subcaminhos de menor caminho também são caminhos mínimos
  - problema apresenta o **princípio da subestrutura ótima** em problemas de otimização

# Problemas de Menor Caminho

- Estruturas de dados:
  - $d[v]$ : custo estimado do menor caminho até  $v$
  - $\pi[v]$ : predecessor de  $v$  no menor caminho
  - $w(u, v)$ : peso da aresta  $(u, v)$
- **relaxação**: método que repetidamente diminui o limite superior do peso do menor caminho, usado em vários algoritmos

# Problemas de Menor Caminho

## • Relaxação:

```
1: procedure RELAX( $u, v$ )  
2:   ▷ Relaxação  
3:   if  $d[v] > d[u] + w(u, v)$  then  
4:      $d[v] \leftarrow d[u] + w(u, v)$   
5:      $\pi[v] \leftarrow u$   
6:   end if  
7: end procedure
```

- ▷ custo pode ser diminuído
- ▷ atualiza o custo
- ▷ armazena o predecessor

# Problemas de Menor Caminho

- variante escolhida: único vértice inicial (origem)

```
1: procedure INICIALIZAORIGEM( $G, s$ )  
2:    $\triangleright s$  é vertice de origem  
3:   for each  $v \in V[G]$  do  
4:      $d[v] \leftarrow \infty$   
5:      $\pi[v] \leftarrow NIL$   
6:   end for  
7:    $d[s] \leftarrow 0$   
8: end procedure
```

$\triangleright$  distância da origem para ela mesma é zero

# Menor Caminho - Algoritmo de Dijkstra

- Pré-requisitos:
  - único vértice de origem
  - apenas arestas com pesos não-negativos (i.e,  $w(u, v) \geq 0$ )
- estruturas de dados:
  - $Q$ : fila de prioridade usando  $d[v]$
  - $S$ : conjunto de vértices destino com menores caminhos já calculados

# Menor Caminho - Algoritmo de Dijkstra

```
1: procedure DIJKSTA( $G, s$ )
2:    $\triangleright s$  é vertice de origem
3:   InicializaOrigem( $G, s$ )
4:    $S \leftarrow \emptyset$ 
5:    $Q \leftarrow V[G]$ 
6:   while  $Q \neq \emptyset$  do
7:      $u \leftarrow \text{extraiMinimo}(Q)$ 
8:      $S \leftarrow S \cup \{u\}$ 
9:     for each  $v \in \text{Adj}[u]$  do
10:      Relax( $u, v$ )
11:    end for
12:  end while
13: end procedure
```

$\triangleright$  fila de prioridade usando  $d[v]$

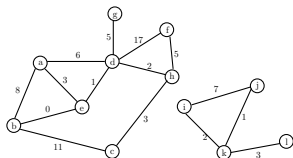


# Menor Caminho - Algoritmo de Dijkstra

- utiliza uma **estratégia gulosa**: sempre escolhe o vértice mais próximo (menor peso) em  $V - S$  para ser incluído em  $S$
- no fim do algoritmo:  $d[u] = \delta(s, u)$
- complexidade:
  - $O(V^2)$ : se a fila  $Q$  é implementada como um vetor
  - $O(E \lg V)$ : se a fila  $Q$  é implementada como um *heap* binário
  - $O(V \lg V + E)$ : se a fila  $Q$  é implementada como um *heap* de Fibonacci

# Menor Caminho - Algoritmo de Dijkstra

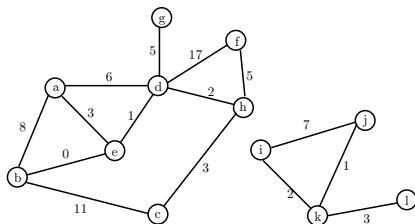
Considere o grafo abaixo tal que seja usada a representação de matriz adjacência:



$$A_G = \begin{matrix} & \begin{matrix} a & b & c & d & e & f & g & h & i & j & k & l \end{matrix} \\ \begin{matrix} a \\ b \\ c \\ d \\ e \\ f \\ g \\ h \\ i \\ j \\ k \\ l \end{matrix} & \begin{bmatrix} 0 & 8 & 0 & 6 & 3 & 0 & 0 & 0 & 0 & 0 & 0 & 0 \\ 8 & 0 & 11 & 0 & 0 & 0 & 0 & 0 & 0 & 0 & 0 & 0 \\ 0 & 11 & 0 & 0 & 0 & 0 & 0 & 3 & 0 & 0 & 0 & 0 \\ 6 & 0 & 0 & 0 & 1 & 17 & 5 & 2 & 0 & 0 & 0 & 0 \\ 3 & 0 & 0 & 1 & 0 & 0 & 0 & 0 & 0 & 0 & 0 & 0 \\ 0 & 0 & 0 & 17 & 0 & 0 & 0 & 5 & 0 & 0 & 0 & 0 \\ 0 & 0 & 0 & 5 & 0 & 0 & 0 & 0 & 0 & 0 & 0 & 0 \\ 0 & 0 & 3 & 2 & 0 & 0 & 0 & 0 & 0 & 0 & 0 & 0 \\ 0 & 0 & 0 & 0 & 0 & 0 & 0 & 0 & 0 & 7 & 2 & 0 \\ 0 & 0 & 0 & 0 & 0 & 0 & 0 & 0 & 7 & 0 & 1 & 0 \\ 0 & 0 & 0 & 0 & 0 & 0 & 0 & 0 & 2 & 1 & 0 & 3 \\ 0 & 0 & 0 & 0 & 0 & 0 & 0 & 0 & 0 & 3 & 0 & 0 \end{bmatrix} \end{bmatrix}$$

# Menor Caminho - Algoritmo de Dijkstra

Considerando o vértice  $a$  como origem, após a execução das linhas 03-05, antes de entrar no *loop*, as estruturas de dados serão:



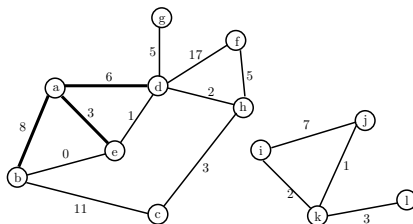
$Q$ : 

a	b	c	d	e	f	g	h	i	j	k	l
---	---	---	---	---	---	---	---	---	---	---	---

$S$ :  $\emptyset$

$u$	$\pi[u]$	$d[u]$
a	NIL	0
b	NIL	$\infty$
c	NIL	$\infty$
d	NIL	$\infty$
e	NIL	$\infty$
f	NIL	$\infty$
g	NIL	$\infty$
h	NIL	$\infty$
i	NIL	$\infty$
j	NIL	$\infty$
k	NIL	$\infty$
l	NIL	$\infty$

# Menor Caminho - Algoritmo de Dijkstra



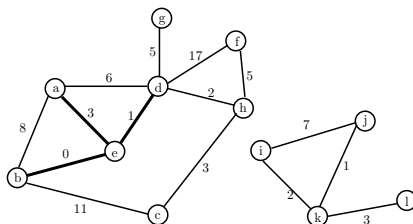
Q: 

e	d	b	c	f	g	h	i	j	k	l	
---	---	---	---	---	---	---	---	---	---	---	--

$S: \{a\}$

$u$	$\pi[u]$	$d[u]$
a	NIL	0
b	a	8
c	NIL	$\infty$
d	a	6
e	a	3
f	NIL	$\infty$
g	NIL	$\infty$
h	NIL	$\infty$
i	NIL	$\infty$
j	NIL	$\infty$
k	NIL	$\infty$
l	NIL	$\infty$

# Menor Caminho - Algoritmo de Dijkstra

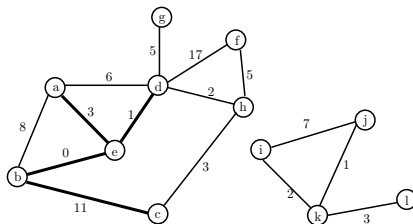


$Q$ : [ b | d | c | f | g | h | i | j | k | l | | ]

$S : \{a, e\}$

$u$	$\pi[u]$	$d[u]$
a	NIL	0
b	e	3
c	NIL	$\infty$
d	e	4
e	a	3
f	NIL	$\infty$
g	NIL	$\infty$
h	NIL	$\infty$
i	NIL	$\infty$
j	NIL	$\infty$
k	NIL	$\infty$
l	NIL	$\infty$

# Menor Caminho - Algoritmo de Dijkstra



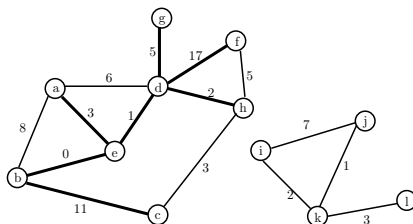
Q: 

d	c	f	g	h	i	j	k	l			
---	---	---	---	---	---	---	---	---	--	--	--

S : {a, e, b}

$u$	$\pi[u]$	$d[u]$
a	NIL	0
b	e	3
c	b	14
d	e	4
e	a	3
f	NIL	$\infty$
g	NIL	$\infty$
h	NIL	$\infty$
i	NIL	$\infty$
j	NIL	$\infty$
k	NIL	$\infty$
l	NIL	$\infty$

# Menor Caminho - Algoritmo de Dijkstra



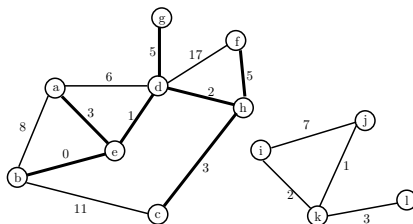
Q: 

h	g	c	f	i	j	k	l				
---	---	---	---	---	---	---	---	--	--	--	--

$S : \{a, e, b, d\}$

$u$	$\pi[u]$	$d[u]$
a	NIL	0
b	e	3
c	b	14
d	e	4
e	a	3
f	d	21
g	d	9
h	d	6
i	NIL	$\infty$
j	NIL	$\infty$
k	NIL	$\infty$
l	NIL	$\infty$

# Menor Caminho - Algoritmo de Dijkstra



Q: 

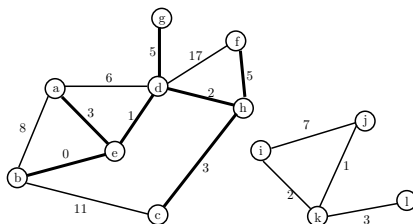
g	c	f	i	j	k	l				
---	---	---	---	---	---	---	--	--	--	--

S : {a, e, b, d, h}

$u$	$\pi[u]$	$d[u]$
a	NIL	0
b	e	3
c	h	9
d	e	4
e	a	3
f	h	11
g	d	9
h	d	6
i	NIL	$\infty$
j	NIL	$\infty$
k	NIL	$\infty$
l	NIL	$\infty$



# Menor Caminho - Algoritmo de Dijkstra



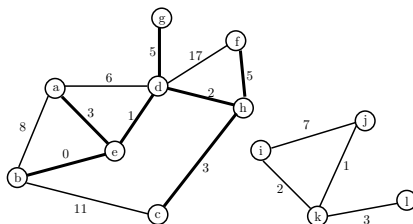
$Q$ : 

c	f	i	j	k	l					
---	---	---	---	---	---	--	--	--	--	--

$S : \{a, e, b, d, h, g\}$

$u$	$\pi[u]$	$d[u]$
a	NIL	0
b	e	3
c	h	9
d	e	4
e	a	3
f	h	11
g	d	9
h	d	6
i	NIL	$\infty$
j	NIL	$\infty$
k	NIL	$\infty$
l	NIL	$\infty$

# Menor Caminho - Algoritmo de Dijkstra



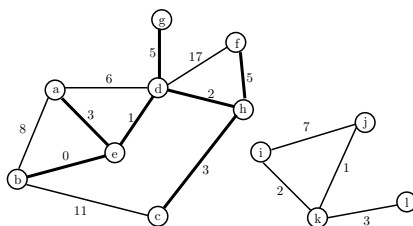
$Q$ : 

f	i	j	k	l						
---	---	---	---	---	--	--	--	--	--	--

$S : \{a, e, b, d, h, g, c\}$

$u$	$\pi[u]$	$d[u]$
a	NIL	0
b	e	3
c	h	9
d	e	4
e	a	3
f	h	11
g	d	9
h	d	6
i	NIL	$\infty$
j	NIL	$\infty$
k	NIL	$\infty$
l	NIL	$\infty$

# Menor Caminho - Algoritmo de Dijkstra



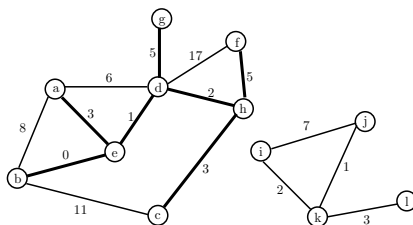
Q: 

i	j	k	l							
---	---	---	---	--	--	--	--	--	--	--

  
 S: {a, e, b, d, h, g, c, f}

$u$	$\pi[u]$	$d[u]$
a	NIL	0
b	e	3
c	h	9
d	e	4
e	a	3
f	h	11
g	d	9
h	d	6
i	NIL	$\infty$
j	NIL	$\infty$
k	NIL	$\infty$
l	NIL	$\infty$

# Menor Caminho - Algoritmo de Dijkstra



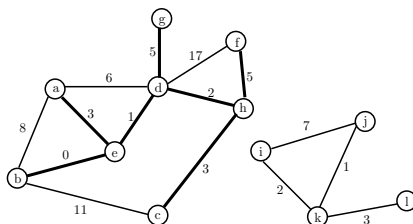
Q: 

j	k	l								
---	---	---	--	--	--	--	--	--	--	--

$S : \{a, e, b, d, h, g, c, f, i\}$

$u$	$\pi[u]$	$d[u]$
a	NIL	0
b	e	3
c	h	9
d	e	4
e	a	3
f	h	11
g	d	9
h	d	6
i	NIL	$\infty$
j	NIL	$\infty$
k	NIL	$\infty$
l	NIL	$\infty$

# Menor Caminho - Algoritmo de Dijkstra



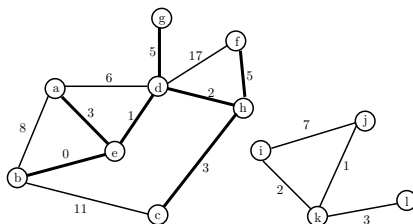
Q: 

k	l													
---	---	--	--	--	--	--	--	--	--	--	--	--	--	--

  
 $S : \{a, e, b, d, h, g, c, f, i, j\}$

$u$	$\pi[u]$	$d[u]$
a	NIL	0
b	e	3
c	h	9
d	e	4
e	a	3
f	h	11
g	d	9
h	d	6
i	NIL	$\infty$
j	NIL	$\infty$
k	NIL	$\infty$
l	NIL	$\infty$

# Menor Caminho - Algoritmo de Dijkstra



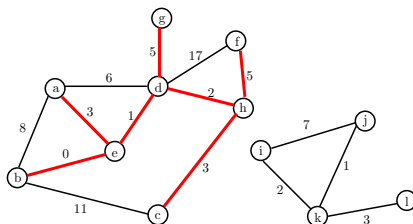
Q: 

1										
---	--	--	--	--	--	--	--	--	--	--

$S : \{a, e, b, d, h, g, c, f, i, j, k\}$

$u$	$\pi[u]$	$d[u]$
a	NIL	0
b	e	3
c	h	9
d	e	4
e	a	3
f	h	11
g	d	9
h	d	6
i	NIL	$\infty$
j	NIL	$\infty$
k	NIL	$\infty$
l	NIL	$\infty$

# Menor Caminho - Algoritmo de Dijkstra



Q: 

--	--	--	--	--	--	--	--	--	--	--	--

$S : \{a, e, b, d, h, g, c, f, i, j, k, l\}$

$u$	$\pi[u]$	$d[u]$
a	NIL	0
b	e	3
c	h	9
d	e	4
e	a	3
f	h	11
g	d	9
h	d	6
i	NIL	$\infty$
j	NIL	$\infty$
k	NIL	$\infty$
l	NIL	$\infty$

# Menor Caminho - Algoritmo de Bellman-Ford

- pré-requisito: único vértice de origem
- grafo orientado
- arestas podem ter peso negativo
- caso exista ciclo de peso negativo, o algoritmo retorna *false*
- complexidade:  $O(VE)$



# Menor Caminho - Algoritmo de Bellman-Ford

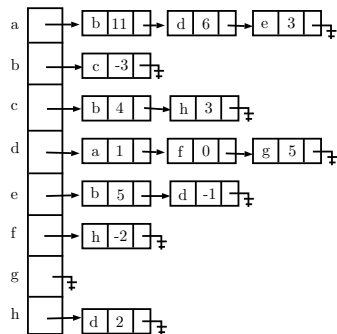
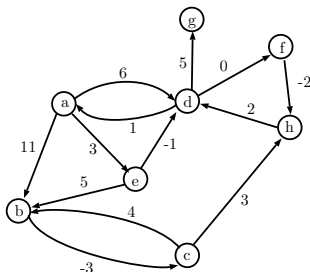
```
1: function BELLMANFORD( $G, s$ )
2:    $\triangleright s$  é vertice de origem
3:   InicializaOrigem( $G, s$ )
4:   for  $i \leftarrow 1, \dots, |V| - 1$  do
5:     for each  $(u, v) \in E$  do
6:       Relax( $u, v$ )
7:     end for
8:   end for
9:   for each  $(u, v) \in E$  do
10:    if  $d[v] > d[u] + w(u, v)$  then
11:      return false
12:    end if
13:  end for
14:  return true
15: end function
```

$\triangleright$  existe ciclo de peso negativo

$\triangleright$  cálculo efetuado com êxito

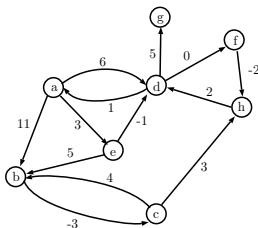
# Menor Caminho - Algoritmo de Bellman-Ford

Considere o grafo abaixo tal que o vértice de origem seja  $a$  e seja usada a representação de listas de adjacência:



# Menor Caminho - Algoritmo de Bellman-Ford

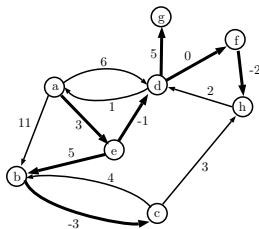
Após a execução da linha 03, as estruturas de dados terão:



$u$	$\pi[u]$	$d[u]$
a	NIL	0
b	NIL	$\infty$
c	NIL	$\infty$
d	NIL	$\infty$
e	NIL	$\infty$
f	NIL	$\infty$
g	NIL	$\infty$
h	NIL	$\infty$

## Menor Caminho - Algoritmo de Bellman-Ford

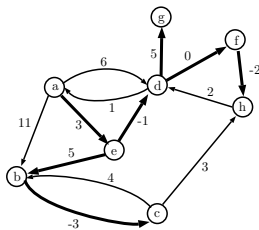
Considerando que as arestas serão varridas na ordem lexicográfica:

$$\{(a, b), (a, d), (a, e), (b, c), (c, b), (c, h), (d, a), (d, f), (d, g), (e, b), (e, d), (f, h), (h, d)\}$$
$$i = 1:$$


$u$	$\pi[u]$	$d[u]$
a	NIL	0
b	<del>NIL</del> a e	<del><math>\infty</math></del> <del>11</del> 8
c	<del>NIL</del> b	<del><math>\infty</math></del> 8
d	<del>NIL</del> a e	<del><math>\infty</math></del> <del>6</del> 2
e	<del>NIL</del> a	<del><math>\infty</math></del> 3
f	<del>NIL</del> d	<del><math>\infty</math></del> 6
g	<del>NIL</del> d	<del><math>\infty</math></del> 11
h	<del>NIL</del> c f	<del><math>\infty</math></del> <del>11</del> 4

# Menor Caminho - Algoritmo de Bellman-Ford

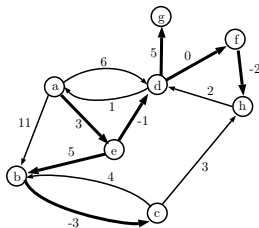
$i = 2$ :



$u$	$\pi[u]$	$d[u]$
a	NIL	0
b	e	8
c	<del>b</del> b	<del>8</del> 5
d	e	2
e	a	3
f	<del>d</del> d	<del>0</del> 2
g	<del>d</del> d	<del>11</del> 7
h	<del>f</del> f	<del>4</del> 0

# Menor Caminho - Algoritmo de Bellman-Ford

A partir de  $i = 3$ , não há mais alterações, ficando os seguintes valores:



$u$	$\pi[u]$	$d[u]$
a	NIL	0
b	e	8
c	b	5
d	e	2
e	a	3
f	d	2
g	d	7
h	f	0

# Menor Caminho - Algoritmo de Bellman-Ford

## Observações:

- o número de repetições do *loop* externo é  $V - 1$  porque o tamanho máximo de um caminho mínimo é  $V - 1$  arestas
- como em muitos grafos o número máximo de arestas em qualquer caminho mínimo é substancialmente menor que  $V - 1$ , algumas poucas rodadas de atualizações são necessárias. Portanto, faz sentido adicionar uma verificação extra no algoritmo para terminá-lo imediatamente depois de qualquer rodada em que nenhuma atualização ocorreu.
- as linhas 09-13 fazem uma rodada adicional para detectar a presença de ciclo negativo, detectado pela possibilidade de melhorar o caminho mínimo mais que  $V - 1$  vezes

# Menor Caminho - grafos orientados acíclicos

- pré-requisito: único vértice origem
- o problema de menores caminhos em grafos orientados acíclicos está sempre bem definido, pois não existem ciclos. Logo não há ciclos negativos
- se existe caminho de  $u$  para  $v$ , então  $u$  precede  $v$  na ordem topológica, e também no menor caminho
- Complexidade:  $O(V + E)$



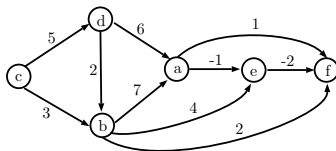
# Menor Caminho - grafos orientados acíclicos

```
1: procedure MENORCAMINHOGRAFOORIENTADOACICLICO( $G, s$ )
2:   ▷  $s$  é vertice de origem
3:   InicializaOrigem( $G, s$ )
4:   for each  $u$  tomado em ordem topológica do
5:     for each  $v \in Adj[u]$  do
6:       Relax( $u, v$ )
7:     end for
8:   end for
9: end procedure
```

# Menor Caminho - grafos orientados acíclicos

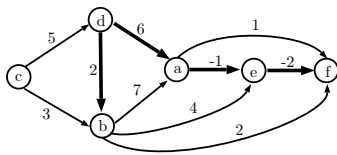
Considere o grafo da figura abaixo. Uma ordem topológica válida é  $c, d, b, a, e, f$ .

Considere o vértice  $d$  como origem. Os valores nas estruturas de dados após a execução da linha 03:



$u$	$\pi[u]$	$d[u]$
a	NIL	$\infty$
b	NIL	$\infty$
c	NIL	$\infty$
d	NIL	0
e	NIL	$\infty$
f	NIL	$\infty$

# Menor Caminho - grafos orientados acíclicos



$u$	$\pi[u]$	$d[u]$
a	<del>NIL</del> d	<del><math>\infty</math></del> 6
b	<del>NIL</del> d	<del><math>\infty</math></del> 2
c	NIL	$\infty$
d	NIL	0
e	<del>NIL</del> b a	<del><math>\infty</math></del> 5
f	<del>NIL</del> b e	<del><math>\infty</math></del> 3

# Menor Caminho - grafos orientados acíclicos

Observação: o algoritmo anterior pode ser usado para calcular o caminho mais longo em grafo orientados acíclicos. Basta que se troquem os sinais dos pesos das arestas. Assim, o menor caminho no grafo com os pesos modificados corresponderá ao caminho mais longo no grafo original.

# Menor Caminho - Algoritmo de Floyd-Warshall

- pré-requisito: ausência de ciclos negativos
- calcula o menor caminho entre todos os pares de vértices
- estrutura de dados: matriz adjacência modificada  $W = w_{ij}$ , onde:

$$w_{ij} = \begin{cases} 0 & \text{se } i = j \\ w(i,j) & \text{se } i \neq j \text{ e } (i,j) \in E \\ \infty & \text{se } i \neq j \text{ e } (i,j) \notin E \end{cases}$$

# Menor Caminho - Algoritmo de Floyd-Warshall

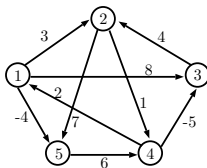
- usa a técnica de Programação Dinâmica
- estrutura de dados: matriz  $D^{(k)}$ , que armazena o custo do menor caminho com até  $k$  vértices intermediários
- complexidade:  $O(V^3)$

# Menor Caminho - Algoritmo de Floyd-Warshall

```
1: function FLOYDWARSHALL( $W$ )
2:   ▷ entrada:  $W$  é matriz adjacência modificada
3:   ▷ saída: matriz  $D$  com os valores dos menores caminhos
4:    $D^{(0)} \leftarrow W$                                      ▷ atribuição de matrizes
5:   for  $k \leftarrow 1, \dots, |V|$  do
6:     for  $i \leftarrow 1, \dots, |V|$  do
7:       for  $j \leftarrow 1, \dots, |V|$  do
8:          $d_{ij}^{(k)} \leftarrow \min\{d_{ij}^{(k-1)}, d_{ik}^{(k-1)} + d_{kj}^{(k-1)}\}$ 
9:       end for
10:    end for
11:  end for
12:  return  $D$ 
13: end function
```

# Menor Caminho - Algoritmo de Floyd-Warshall

Considere o grafo abaixo. Aplicando o algoritmo, a matriz não sofre mais alterações a partir de  $D^{(4)}$





# Menor Caminho - Algoritmo de Floyd-Warshall

$$D^{(1)} = \begin{bmatrix} 0 & 3 & 8 & \infty & -4 \\ \infty & 0 & \infty & 1 & 7 \\ \infty & 4 & 0 & \infty & \infty \\ 2 & \infty & -5 & 0 & \infty \\ \infty & \infty & \infty & 6 & 0 \end{bmatrix}$$

$$D^{(2)} = \begin{bmatrix} 0 & 3 & 8 & 2 & -4 \\ 3 & 0 & -4 & 1 & 7 \\ \infty & 4 & 0 & 5 & 11 \\ 2 & -1 & -5 & 0 & -2 \\ 8 & \infty & 1 & 6 & 0 \end{bmatrix}$$

$$D^{(3)} = \begin{bmatrix} 0 & 3 & -3 & 2 & -4 \\ 3 & 0 & -4 & 1 & -1 \\ 7 & 4 & 0 & 5 & 11 \\ 2 & -1 & -5 & 0 & -2 \\ 8 & 5 & 1 & 6 & 0 \end{bmatrix}$$

$$D^{(4)} = \begin{bmatrix} 0 & 1 & -3 & 2 & -4 \\ 3 & 0 & -4 & 1 & -1 \\ 7 & 4 & 0 & 5 & 3 \\ 2 & -1 & -5 & 0 & -2 \\ 8 & 5 & 1 & 6 & 0 \end{bmatrix}$$

# Fecho Transitivo

## Fecho Transitivo

Dado grafo orientado  $G = (V, E)$ , o **fecho transitivo** de  $G$  é definido como sendo o grafo  $G^* = (V, E^*)$  onde:

$$E^* = \{(i, j) : \text{existe caminho de } i \text{ para } j \text{ em } G\}$$

Basicamente corresponde a determinar se existe caminho entre todos os pares de vértices.

# Fecho Transitivo

- ideia do algoritmo: atribuir peso 1 a cada aresta e executar o algoritmo de Floyd-Warshall
- estrutura de dados: matriz booleana  $t_{ij}^{(k)}$ , que indica se existe caminho em  $G$  de  $i$  para  $j$  com no máximo  $k$  arestas.
- complexidade:  $O(V^3)$

# Fecho Transitivo de Grafos Orientados

```

1: function FECHOTRANSITIVO( $G$ )
2:   ▷ saída: matriz  $T$  contendo o fecho transitivo
3:   for  $k \leftarrow 1, \dots, |V|$  do                                     ▷ inicialização da matriz  $T$ 
4:     for  $i \leftarrow 1, \dots, |V|$  do
5:       if  $i = j$  or  $(i, j) \in E$  then
6:          $t_{ij}^{(0)} \leftarrow 1$ 
7:       else
8:          $t_{ij}^{(0)} \leftarrow 0$ 
9:       end if
10:    end for
11:  end for
12:  for  $k \leftarrow 1, \dots, |V|$  do
13:    for  $i \leftarrow 1, \dots, |V|$  do
14:      for  $j \leftarrow 1, \dots, |V|$  do
15:         $t_{ij}^{(k)} \leftarrow t_{ij}^{(k-1)} \vee (t_{ik}^{(k-1)} \wedge t_{kj}^{(k-1)})$ 
16:      end for
17:    end for
18:  end for
19:  return  $T^{(|V|)}$ 
20: end function

```

# Árvore Geradora Mínima

## Árvore Geradora

Dado um grafo  $G = (V, E)$ , uma **árvore geradora** é um subgrafo  $T = (V, E^T)$  tal que  $E^T \subseteq E$  e  $T$  é árvore.

## Árvore Geradora Mínima

Seja  $G = (V, E)$  grafo não orientado conexo tal que esteja associado pesos (custos) não negativos às arestas de  $G$ . A **árvore geradora mínima** é a árvore geradora de peso total mínimo, isto é:

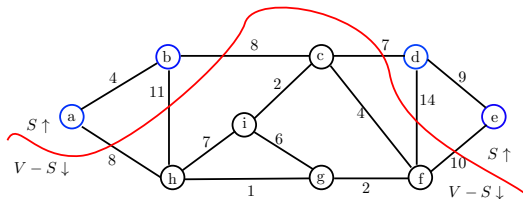
$$w(T) = \sum_{(u,v) \in T} w(u, v) \text{ é mínimo}$$

# Árvore Geradora Mínima

## Definições auxiliares

- Um **corte**  $[S, V - S]$  de um grafo  $G = (V, E)$  é uma partição de  $V$
- uma aresta  $(u, v)$  cruza o corte  $[S, V - S]$  se um extremo está em  $S$  e o outro extremo está em  $V - S$
- um corte  $[S, V - S]$  respeita um conjunto  $A$  de arestas, se nenhuma aresta em  $A$  cruza o corte

# Árvore Geradora Mínima



- aresta  $(c, d)$  cruza o corte
- o conjunto  $A = \{(a, b), (c, i), (c, f), (f, g), (g, h)\}$  respeita o corte

# Árvore Geradora Mínima - algoritmo de Kruskal

## Algoritmo de Kruskal

- definir um conjunto de aresta  $A$
- adicionar arestas “seguras” ao conjunto  $A$  até formar a árvore geradora mínima
- as arestas candidatas são arestas de peso mínimo que cruzam algum corte que respeita o conjunto  $A$
- complexidade:  $O(E \lg E)$



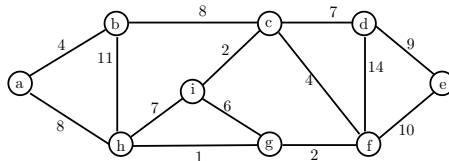
# Árvore Geradora Mínima - algoritmo de Kruskal

```

1: function KRUSKALL( $G, w$ )
2:   ▷ entrada: grafo  $G$  e pesos das arestas  $w$ 
3:   ▷ saída: conjunto  $A$  contendo as arestas da árvore geradora mínima
4:    $A \leftarrow \emptyset$ 
5:   for each  $v \in V[G]$  do
6:     criaConjunto( $v$ )           ▷ conjunto contendo somente o vértice  $v$ 
7:   end for
8:   ordene as arestas de  $E$  em ordem não decrescente de  $w$ 
9:   for each  $(u, v) \in E$  em ordem de peso  $w$  do
10:    if  $\text{conj}(u) \neq \text{conj}(v)$  then           ▷ subárvores distintas
11:       $A \leftarrow A \cup \{(u, v)\}$ 
12:      Uniao( $\text{conj}(u), \text{conj}(v)$ )
13:    end if
14:  end for
15:  return  $A$ 
16: end function

```

# Árvore Geradora Mínima

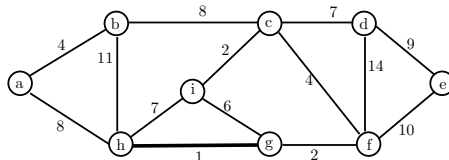


- valores das estruturas de dados após execução das linhas 04-08:

- conjuntos de vértices:  $\{a\}, \{b\}, \{c\}, \{d\}, \{e\}, \{f\}, \{g\}, \{h\}, \{i\}$
- arestas em ordem não decrescente:  

1	2	2	4	4	6	7	7	8	8	9	10	11	14
(g, h)	(f, g)	(c, i)	(a, b)	(c, f)	(g, i)	(c, d)	(h, i)	(a, h)	(b, c)	(d, e)	(e, f)	(b, h)	(d, f)
- $A = \emptyset$

# Árvore Geradora Mínima



- valores das estruturas de dados a cada iteração do *loop* das linhas 09-14:

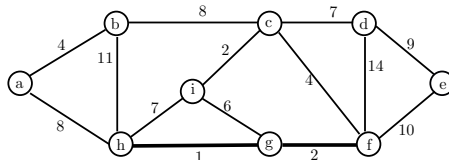
- conjuntos de vértices:  $\{a\}, \{b\}, \{c\}, \{d\}, \{e\}, \{f\}, \{g, h\}, \{i\}$

- arestas em ordem não decrescente:

$\begin{matrix} 2 & 2 & 4 & 4 & 6 & 7 & 7 & 8 & 8 & 9 & 10 & 11 & 14 \\ (f, g) & (c, i) & (a, b) & (c, f) & (g, i) & (c, d) & (h, i) & (a, h) & (b, c) & (d, e) & (e, f) & (b, h) & (d, f) \end{matrix}$

- $A = \{(g, h)\}$

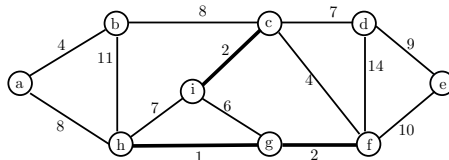
# Árvore Geradora Mínima



- valores das estruturas de dados a cada iteração do *loop* das linhas 09-14:
  - conjuntos de vértices:  $\{a\}, \{b\}, \{c\}, \{d\}, \{e\}, \{f, g, h\}, \{i\}$
  - arestas em ordem não decrescente:
 

2	4	4	6	7	7	8	8	9	10	11	14
(c, i)	(a, b)	(c, f)	(g, i)	(c, d)	(h, i)	(a, h)	(b, c)	(d, e)	(e, f)	(b, h)	(d, f)
  - $A = \{(g, h), (f, g)\}$

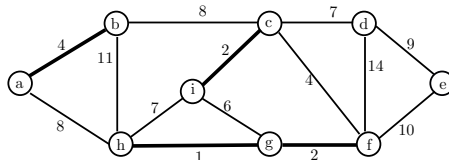
# Árvore Geradora Mínima



- valores das estruturas de dados a cada iteração do *loop* das linhas 09-14:
  - conjuntos de vértices:  $\{a\}, \{b\}, \{c, i\}, \{d\}, \{e\}, \{f, g, h\}$
  - arestas em ordem não decrescente:
 

4	4	6	7	7	8	8	9	10	11	14
(a, b)	(c, f)	(g, i)	(c, d)	(h, i)	(a, h)	(b, c)	(d, e)	(e, f)	(b, h)	(d, f)
  - $A = \{(g, h), (f, g), (c, i)\}$

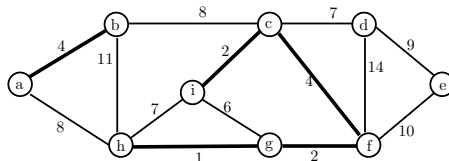
# Árvore Geradora Mínima



- valores das estruturas de dados a cada iteração do *loop* das linhas 09-14:
  - conjuntos de vértices:  $\{a, b\}, \{c, i\}, \{d\}, \{e\}, \{f, g, h\}$
  - arestas em ordem não decrescente:
 

4	6	7	7	8	8	9	10	11	14
(c, f)	(g, i)	(c, d)	(h, i)	(a, h)	(b, c)	(d, e)	(e, f)	(b, h)	(d, f)
  - $A = \{(g, h), (f, g), (c, i), (a, b)\}$

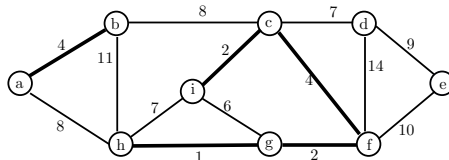
# Árvore Geradora Mínima



- valores das estruturas de dados a cada iteração do *loop* das linhas 09-14:
  - conjuntos de vértices:  $\{a, b\}, \{c, f, g, h, i\}, \{d\}, \{e\}$
  - arestas em ordem não decrescente:
 

6	7	7	8	8	9	10	11	14
(g, i)	(c, d)	(h, i)	(a, h)	(b, c)	(d, e)	(e, f)	(b, h)	(d, f)
  - $A = \{(g, h), (f, g), (c, i), (a, b), (c, f)\}$

# Árvore Geradora Mínima

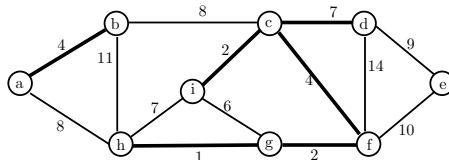


- valores das estruturas de dados a cada iteração do *loop* das linhas 09-14:
  - conjuntos de vértices:  $\{a, b\}, \{c, f, g, h, i\}, \{d\}, \{e\}$
  - arestas em ordem não decrescente:
 

7	7	8	8	9	10	11	14
(c, d)	(h, i)	(a, h)	(b, c)	(d, e)	(e, f)	(b, h)	(d, f)
  - $A = \{(g, h), (f, g), (c, i), (a, b), (c, f)\}$



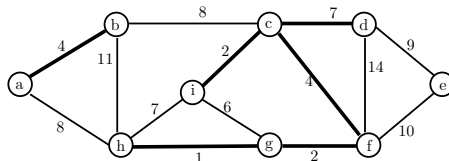
# Árvore Geradora Mínima



- valores das estruturas de dados a cada iteração do *loop* das linhas 09-14:
  - conjuntos de vértices:  $\{a, b\}, \{c, d, f, g, h, i\}, \{e\}$
  - arestas em ordem não decrescente:
 

7	8	8	9	10	11	14
(h, i)	(a, h)	(b, c)	(d, e)	(e, f)	(b, h)	(d, f)
  - $A = \{(g, h), (f, g), (c, i), (a, b), (c, f), (c, d)\}$

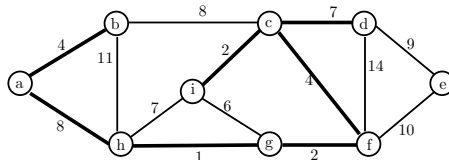
# Árvore Geradora Mínima



- valores das estruturas de dados a cada iteração do *loop* das linhas 09-14:
  - conjuntos de vértices:  $\{a, b\}, \{c, d, f, g, h, i\}, \{e\}$
  - arestas em ordem não decrescente:
 

8	8	9	10	11	14
(a, h)	(b, c)	(d, e)	(e, f)	(b, h)	(d, f)
  - $A = \{(g, h), (f, g), (c, i), (a, b), (c, f), (c, d)\}$

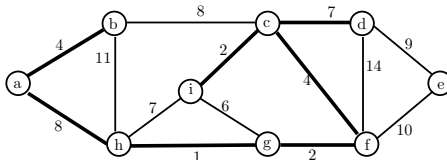
# Árvore Geradora Mínima



- valores das estruturas de dados a cada iteração do *loop* das linhas 09-14:
  - conjuntos de vértices:  $\{a, b, c, d, f, g, h, i\}, \{e\}$
  - arestas em ordem não decrescente:
 

8	9	10	11	14
(b, c)	(d, e)	(e, f)	(b, h)	(d, f)
  - $A = \{(g, h), (f, g), (c, i), (a, b), (c, f), (c, d), (a, h)\}$

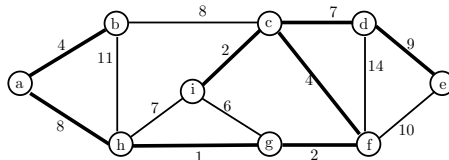
# Árvore Geradora Mínima



- valores das estruturas de dados a cada iteração do *loop* das linhas 09-14:
  - conjuntos de vértices:  $\{a, b, c, d, f, g, h, i\}, \{e\}$
  - arestas em ordem não decrescente:
 

9	10	11	14
(d, e)	(e, f)	(b, h)	(d, f)
  - $A = \{(g, h), (f, g), (c, i), (a, b), (c, f), (c, d), (a, h)\}$

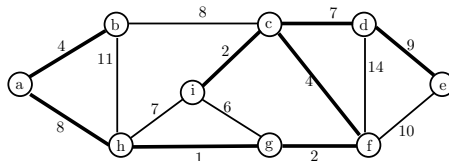
# Árvore Geradora Mínima



- valores das estruturas de dados a cada iteração do *loop* das linhas 09-14:
  - conjuntos de vértices:  $\{a, b, c, d, e, f, g, h, i\}$
  - arestas em ordem não decrescente:
 

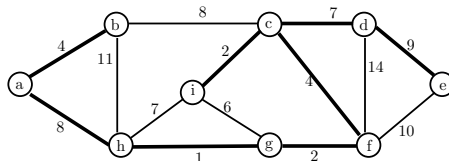
10	11	14
(e, f)	(b, h)	(d, f)
  - $A = \{(g, h), (f, g), (c, i), (a, b), (c, f), (c, d), (a, h), (d, e)\}$

# Árvore Geradora Mínima



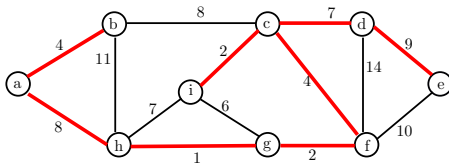
- valores das estruturas de dados a cada iteração do *loop* das linhas 09-14:
  - conjuntos de vértices:  $\{a, b, c, d, e, f, g, h, i\}$
  - arestas em ordem não decrescente:
    - $\begin{matrix} 11 & 14 \\ (b, h) & (d, f) \end{matrix}$
  - $A = \{(g, h), (f, g), (c, i), (a, b), (c, f), (c, d), (a, h), (d, e)\}$

# Árvore Geradora Mínima



- valores das estruturas de dados a cada iteração do *loop* das linhas 09-14:
  - conjuntos de vértices:  $\{a, b, c, d, e, f, g, h, i\}$
  - arestas em ordem não decrescente:
    - $14$
    - $(d, f)$
  - $A = \{(g, h), (f, g), (c, i), (a, b), (c, f), (c, d), (a, h), (d, e)\}$

# Árvore Geradora Mínima



- resultado final:  
 $A = \{(g, h), (f, g), (c, i), (a, b), (c, f), (c, d), (a, h), (d, e)\}$
- peso mínimo total:  $1 + 2 + 2 + 4 + 4 + 7 + 8 + 9 = 37$



# Árvore Geradora Mínima - algoritmo de Prim

## Algoritmo de Prim

- semelhante ao algoritmo de Dijkstra para menor caminho
- uso de fila de prioridade  $Q$  para armazenar vértices que ainda não fazem parte da árvore: baseada no campo  $key[v]$  que contém peso mínimo de cada aresta conectando  $v$  a um vértice da árvore
- fornecido vértice inicial (raiz da árvore)
- complexidade:  $O(E \lg V)$

# Árvore Geradora Mínima - algoritmo de Prim

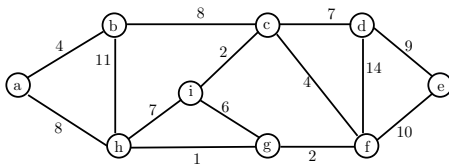
```

1: procedure PRIM( $G, w, r$ )
2:    $\triangleright$  entrada: grafo  $G$ , pesos das arestas  $w$  e vértice origem  $r$ 
3:    $\triangleright$  saída: árvore geradora mínima
4:    $Q \leftarrow V[G]$ 
5:   for each  $u \in V[G]$  do
6:      $key[u] \leftarrow \infty$ 
7:   end for
8:    $key[r] \leftarrow 0$ 
9:    $\pi[r] \leftarrow NIL$   $\triangleright$  raiz da árvore
10:  while  $Q \neq \emptyset$  do
11:     $u \leftarrow \text{extraiMinimo}(Q)$ 
12:    for each  $v \in Adj[u]$  do
13:      if  $v \in Q$  and  $w(u, v) < key[v]$  then
14:         $\pi[v] \leftarrow u$   $\triangleright u$  precede  $v$  na árvore geradora mínima
15:         $key[v] \leftarrow w(u, v)$ 
16:      end if
17:    end for
18:  end while
19: end procedure

```

# Árvore Geradora Mínima - algoritmo de Prim

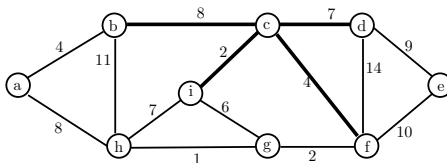
Seja o grafo abaixo. Considere o vértice  $c$  como origem.



- valores das estruturas após a execução das linhas 04-09:
  - $Q : c, a, b, d, e, f, g, h, i$

vértice	$\pi$	key
a		$\infty$
b		$\infty$
c	NIL	0
d		$\infty$
e		$\infty$
f		$\infty$
g		$\infty$
h		$\infty$
i		$\infty$

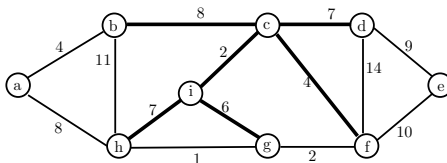
# Árvore Geradora Mínima - algoritmo de Prim



- valores das estruturas ao fim de cada iteração do laço *while*:
  - $Q : i, f, d, b, a, e, g, h$

vértice	$\pi$	key
a		$\infty$
b	c	8
c	NIL	0
d	c	7
e		$\infty$
f	c	4
g		$\infty$
h		$\infty$
i	c	2

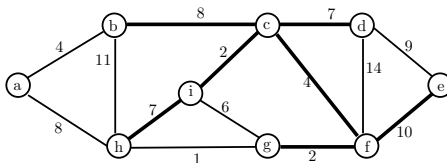
# Árvore Geradora Mínima - algoritmo de Prim



- valores das estruturas ao fim de cada iteração do laço *while*:
  - $Q : f, g, d, h, b, a, e$

vértice	$\pi$	key
a		$\infty$
b	c	8
c	NIL	0
d	c	7
e		$\infty$
f	c	4
g	i	6
h	i	7
i	c	2

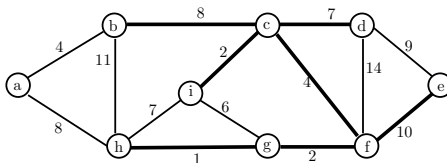
# Árvore Geradora Mínima - algoritmo de Prim



- valores das estruturas ao fim de cada iteração do laço *while*:
  - $Q : g, d, h, b, e, a$

vértice	$\pi$	key
a		$\infty$
b	c	8
c	NIL	0
d	c	7
e	f	10
f	c	4
g	f	2
h	i	7
i	c	2

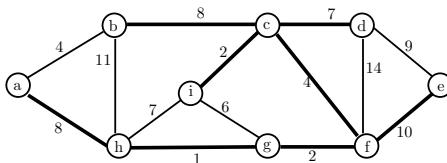
# Árvore Geradora Mínima - algoritmo de Prim



- valores das estruturas ao fim de cada iteração do laço *while*:
  - $Q : h, d, b, e, a$

vértice	$\pi$	key
a		$\infty$
b	c	8
c	NIL	0
d	c	7
e	f	10
f	c	4
g	f	2
h	g	1
i	c	2

# Árvore Geradora Mínima - algoritmo de Prim

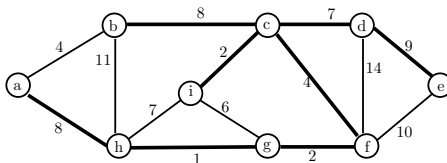


- valores das estruturas ao fim de cada iteração do laço *while*:
  - $Q : d, b, a, e$

vértice	$\pi$	key
a	h	8
b	c	8
c	NIL	0
d	c	7
e	f	10
f	c	4
g	f	2
h	g	1
i	c	2



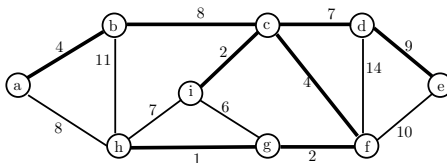
# Árvore Geradora Mínima - algoritmo de Prim



- valores das estruturas ao fim de cada iteração do laço *while*:
  - $Q : b, a, e$

vértice	$\pi$	key
a	h	8
b	c	8
c	NIL	0
d	c	7
e	d	9
f	c	4
g	f	2
h	g	1
i	c	2

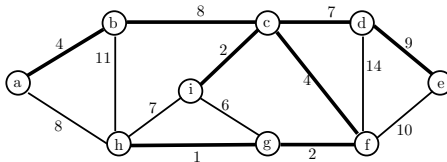
# Árvore Geradora Mínima - algoritmo de Prim



- valores das estruturas ao fim de cada iteração do laço *while*:
  - $Q : a, e$

vértice	$\pi$	key
a	b	4
b	c	8
c	NIL	0
d	c	7
e	d	9
f	c	4
g	f	2
h	g	1
i	c	2

# Árvore Geradora Mínima - algoritmo de Prim

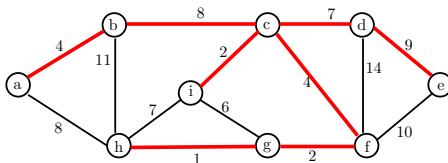


- valores das estruturas ao fim de cada iteração do laço *while*:
  - $Q : e$

vértice	$\pi$	key
a	b	4
b	c	8
c	NIL	0
d	c	7
e	d	9
f	c	4
g	f	2
h	g	1
i	c	2

# Árvore Geradora Mínima - algoritmo de Prim

resultado final:



- peso total mínimo:  $4 + 8 + 7 + 9 + 4 + 2 + 1 + 2 = 37$
- arestas da árvore:  
 $\{(a, b), (b, c), (d, c), (e, d), (f, c), (g, f), (h, g), (i, c)\}_{ew}$

vértice	$\pi$	key
a	b	4
b	c	8
c	NIL	0
d	c	7
e	d	9
f	c	4
g	f	2
h	g	1
i	c	2

# Fluxo em Redes

- exemplo de aplicação: dado um conjunto de manilhas (ou canos) interligados, pretende-se determinar o fluxo máximo de água que pode passar por cada ponto

# Fluxo em Redes

## Definições

Seja  $G = (V, E)$  grafo orientado com 2 vértices distintos  $s$  (**fonte**) e  $t$  (**ralo**), isto é,  $g_{in}(s) = 0$  e  $g_{out}(t) = 0$ , e cada aresta em  $E$  está associada uma capacidade  $c$  não-negativa.

- a capacidade  $c$  de uma aresta é a quantidade máxima de fluxo que pode passar por ela
- **fluxo** é uma função  $f$  nas arestas tal que:
  - $0 \leq f(e) \leq c(e) \forall e \in E$ , isto é, o fluxo não excede a capacidade da aresta
  - $\forall u, v, w \in V - \{s, t\}: \sum f(u, v) = \sum f(v, w)$ , ou seja, o fluxo total que entra em  $v$  também sai dele, exceto para  $s$  e  $t$
- consequência:  $\forall u, v \in V: \sum f(s, v) = \sum f(v, t)$ , isto é, tudo o que sai da fonte chega ao ralo

# Fluxo em Redes

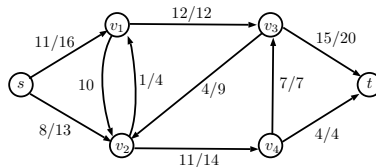
A solução do problema corresponde a maximizar o fluxo.

## Fluxo

$f : V \times V \rightarrow \mathbb{R}$  tal que :

- $f(u, v) \leq c(u, v) \quad \forall u, v \in V$
- $f(u, v) = -f(v, u) \quad \forall u, v \in V$

# Fluxo em Redes



- fluxo saindo de  $s$ :  $11 + 8 = 19$
- capacidade de  $s$ :  $16 + 13 = 29$
- fluxo passando na aresta  $(v_1, v_2) = 0$
- capacidade da aresta  $(v_1, v_2)$ : 10
- fluxo chegando em  $t$ :  $15 + 4 = 19$
- capacidade de  $t$ :  $20 + 4 = 24$



# Fluxo em Redes

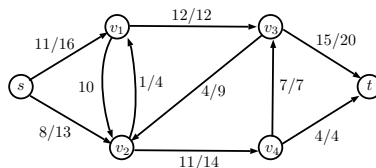
## Capacidade Residual

Consiste de aresta que admitem mais fluxo, ou seja: dado um par de vértices  $u$  e  $v$ , a quantidade de fluxo adicional que podemos empurrar de  $u$  para  $v$  sem exceder a capacidade  $c(u, v)$  é a capacidade residual da aresta  $(u, v)$  dado por:

$$c_f(u, v) = c(u, v) - f(u, v)$$

Observação: se  $(u, v) \notin E$  então  $c(u, v) = 0$

# Fluxo em Redes



- $c_f(s, v_1) = 16 - 11 = 5$
- $c_f(v_1, s) = 0 - (-11) = 11$

# Fluxo em Redes

## Rede Residual

A **rede residual** de um grafo  $G$ , induzida pelo fluxo  $f$  é  $G_f = (V, E_f)$  onde  $E_f = \{(u, v) \in V \times V : c_f(u, v) > 0\}$

Observação: pode acontecer que  $E_f \not\subseteq E$

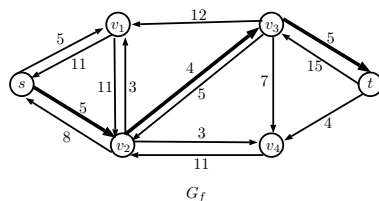
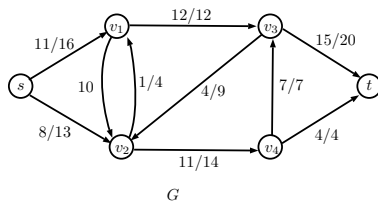
## Caminho Aumentante

Um **caminho aumentante** é um caminho simples de  $s$  para  $t$  na rede residual. Sua capacidade é:

$$c_f(p) = \min\{c_f(u, v) : (u, v) \text{ está em } p\}$$

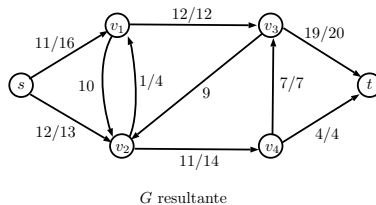
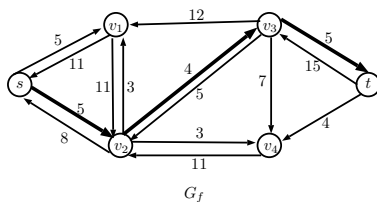
Um fluxo é máximo se não há caminho aumentante.

# Fluxo em Redes



- exemplo de rede  $G$  e rede residual  $G_f$  correspondente
- arestas mais espessas indicam um caminho aumentante em  $G_f$  da fonte ao ralo, cuja capacidade residual é 4, o que significa que ainda é possível empurrar 4 unidades de fluxo usando esse caminho

# Fluxo em Redes



# Fluxo em Redes

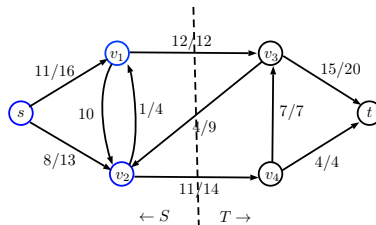
- seja um corte  $[S, T]$  em uma rede de fluxos  $G = (V, E)$  tal que  $T = V - S$  e  $s \in S$  e  $t \in T$
- definimos  $c([S, T])$  a capacidade do corte  $[S, T]$  dado por:  
 $\sum c(e)$ , tal que  $e \in [S, T]$

## Teorema

Para qualquer fluxo  $f$  e corte  $[S, T]$  tem-se que  $val f \leq c([S, T])$  onde:

$$val f = \sum \sum f(u, v) \leq \sum \sum c(u, v) \quad \forall u \in S, \forall v \in T$$

# Fluxo em Redes



- o fluxo que cruza o corte  $f[S, T] = 19$
- capacidade do corte  $c([S, T]) = 26$

# Fluxo em Redes

## Teorema do Fluxo Máximo-Corte Mínimo

Se  $f$  é fluxo máximo e  $[S, T]$  é corte tal que  $val f = c([S, T])$  então  $c([S, T])$  é mínimo.

- $G_f$  não contém caminho aumentante
- $|f| = c([S, T])$  para algum corte  $[S, T]$  de  $G$



# Fluxo em Redes - algoritmo de Ford-Fulkerson

- inicializar fluxo com zero
- enquanto existir caminho aumentante, aumentar o fluxo  $f$  usando o caminho aumentante

# Fluxo em Redes - algoritmo de Ford-Fulkerson

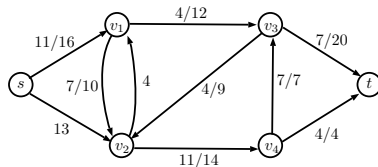
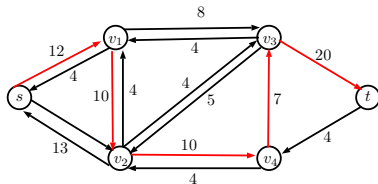
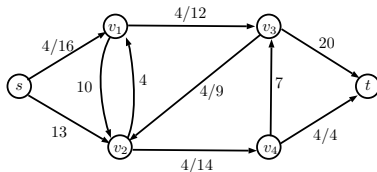
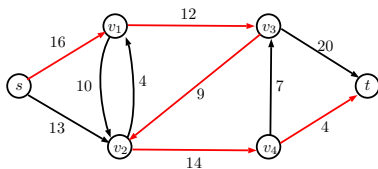
```

1: procedure FORDFULKERSON( $G, s, t$ )
2:   ▷ entrada: grafo  $G$ , fonte  $s$  e ralo  $t$ 
3:   ▷ saída: fluxo máximo
4:   for each  $(u, v) \in E$  do
5:      $f[u, v] \leftarrow 0$ 
6:      $f[v, u] \leftarrow 0$ 
7:   end for
8:   while  $\exists$  caminho aumentante  $p$  na rede residual  $G_f$  do
9:     calcular  $c_f(p)$ 
10:    for each  $(u, v) \in E$  do
11:       $f[u, v] \leftarrow f[u, v] + c_f(p)$ 
12:       $f[v, u] \leftarrow -f[u, v]$ 
13:    end for
14:  end while
15: end procedure

```

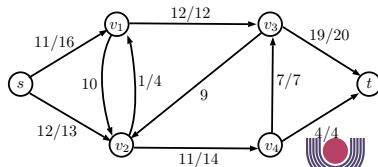
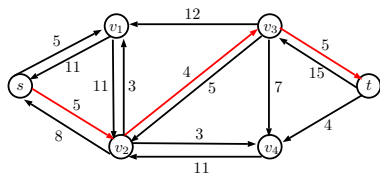
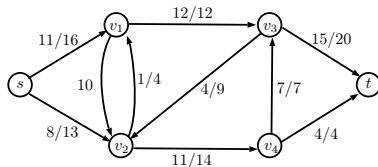
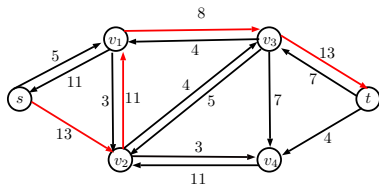
# Fluxo em Redes - algoritmo de Ford-Fulkerson

Sequência de execução do algoritmo mostrando a rede residual e o fluxo resultante do caminho aumentante:



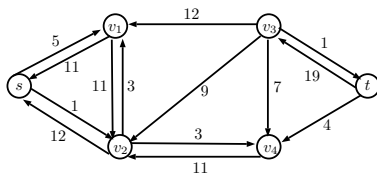
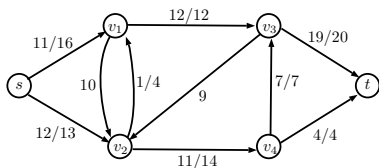
# Fluxo em Redes - algoritmo de Ford-Fulkerson

Sequência de execução do algoritmo mostrando a rede residual e o fluxo resultante do caminho aumentante:



# Fluxo em Redes - algoritmo de Ford-Fulkerson

Não há mais caminho aumentante na residual, logo o fluxo já é máximo  $f(s, t) = 23$ .

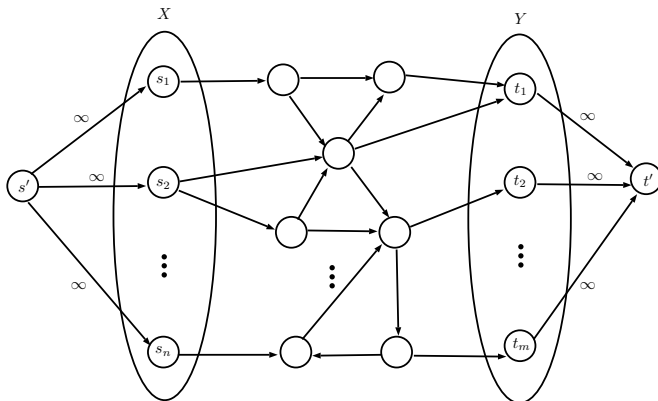


# Fluxo em Redes - algoritmo de Ford-Fulkerson

- capacidades devem ser inteiras
- se capacidades forem racionais, é possível fazer uma transformação de escala para utilizar somente inteiros, aplicar o algoritmo e depois transformar o resultado para a escala anterior
- se existirem capacidades irracionais, o algoritmo pode não terminar, pois pode não convergir para um fluxo máximo
- complexidade:  $O(E|f^*|)$ , onde  $f^*$  é o fluxo máximo

# Fluxo em Redes - algoritmo de Ford-Fulkerson

- Redes com múltiplas fontes e múltiplos ralos:
  - seja  $X$  o conjunto das fontes e  $Y$  o conjunto dos ralos
  - criar superfonte ( $s'$ ) e superralo ( $t'$ ) com capacidade  $\infty$  conforme esquema abaixo



# Emparelhamento Máximo em Grafos Bipartidos

## Emparelhamento em Grafos

Dado um grafo  $G = (V, E)$ , um **emparelhamento**  $M \subseteq E$  é tal que quaisquer 2 arestas em  $M$  não são adjacentes.

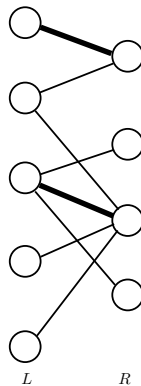
## Emparelhamento Máximo em Grafos Bipartidos

Dado um grafo  $G = (V, E)$  bipartido, um emparelhamento  $M \subseteq E$  é máximo se qualquer outro emparelhamento  $M'$ , tem-se que  $|M'| \leq |M|$ .

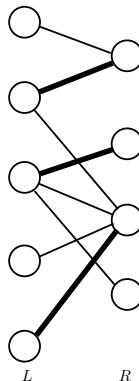
- pode ser reduzido ao problema do fluxo máximo em redes



# Emparelhamento Máximo em Grafos Bipartidos



(a)



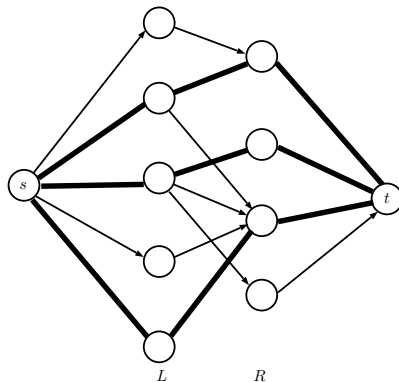
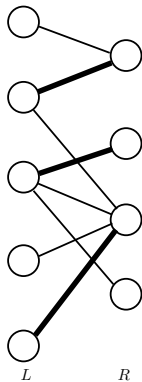
(b)

- (a): emparelhamento de tamanho 2
- (b): emparelhamento de tamanho 3 (máximo)

# Emparelhamento Máximo em Grafos Bipartidos

- Seja  $G = (V, E)$  um grafo bipartido com partições  $L$  e  $R$ :
  - 1 acrescentar vértice fonte  $s$  e criar arestas ligando  $s$  a todos os vértices de  $L$
  - 2 acrescentar vértice falo  $t$  e criar arestas ligando todos os vértices de  $R$  a  $t$
  - 3 atribuir capacidade unitária a todas as arestas
  - 4 aplicar algoritmo de Ford-Fulkerson para obtenção do fluxo máximo, que irá definir o emparelhamento máximo de maneira subjacente

# Emparelhamento Máximo em Grafos Bipartidos



# Bibliografia I

[Bondy 1982] Bondy, J. A.; Murty, U.S.R.

*Graph Theory with Applications*. Elsvier, 1982.

[Netto 1996] P.O. Boaventura Netto.

*Grafos: Teoria, Modelos, Algoritmos*. Edgard Blucher, São Paulo, 1996.

[Diestel 1997] R. Diestel.

*Graph Theory*. Springer, New York, 1997.

[Cormen 1997] Cormen, T.; Leiserson, C.; Rivest, R.

*Introduction to Algorithms*. McGrawHill, New York, 1997.